



TUGAS AKHIR - EE 184801

**ESTIMASI PARAMETER AERODINAMIKA MODEL ROKET
MENGGUNAKAN *COMPUTATIONAL FLUID DYNAMICS***

Dimas Agung Prabowo
NRP 07111640000017

Dosen Pembimbing
Ir. Rusdhianto Effendi A.K., M.T.
Zulkifli Hidayat, ST., M.Sc.

DEPARTEMEN TEKNIK ELEKTRO
Fakultas Teknologi Elektro Dan Informatika Cerdas
Institut Teknologi Sepuluh Nopember
Surabaya 2020

Halaman ini sengaja dikosongkan



TUGAS AKHIR - EE 184801

**ESTIMASI PARAMETER AERODINAMIKA MODEL ROKET
MENGGUNAKAN *COMPUTATIONAL FLUID DYNAMICS***

Dimas Agung Prabowo
NRP 07111640000017

Dosen Pembimbing
Ir. Rusdhianto Effendi A.K., M.T.
Zulkifli Hidayat, ST., M.Sc.

DEPARTEMEN TEKNIK ELEKTRO
Fakultas Teknologi Elektro Dan Informatika Cerdas
Institut Teknologi Sepuluh Nopember
Surabaya 2020

Halaman ini sengaja dikosongkan



FINAL PROJECT - EE 184801

**ESTIMATION OF AERODYNAMICS PARAMETER OF ROCKET
MODEL USING COMPUTATIONAL FLUID DYNAMICS**

Dimas Agung Prabowo
NRP 07111640000017

Supervisor
Ir. Rusdhianto Effendi A.K., M.T.
Zulkifli Hidayat, ST., M.Sc.

DEPARTMENT OF ELECTRICAL ENGINEERING
Faculty of Intelligent Electrical and Informatics Technology
Institut Teknologi Sepuluh Nopember
Surabaya 2020

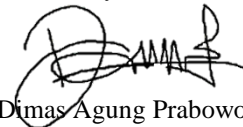
Halaman ini sengaja dikosongkan

PERNYATAAN KEASLIAN TUGAS AKHIR

Dengan ini menyatakan bahwa isi sebagian maupun keseluruhan Tugas Akhir saya dengan judul “**Estimasi Parameter Aerodinamika Model Roket Menggunakan Computational Fluid Dynamics**” adalah hasil karya intelektual mandiri, diselesaikan tanpa menggunakan bahan-bahan yang tidak diizinkan dan bukan merupakan karya pihak lain yang saya akui sebagai karya sendiri.

Semua referensi yang dikutip maupun dirujuk telah ditulis secara lengkap pada daftar pustaka. Apabila ternyata pernyataan ini tidak benar, saya bersedia menerima sanksi sesuai peraturan yang berlaku.

Surabaya, Juni 2020



Dimas Agung Prabowo
NRP. 07111640000017

Halaman ini sengaja dikosongkan

**ESTIMASI PARAMETER AERODINAMIKA MODEL ROKET
MENGGUNAKAN COMPUTATIONAL FLUID DYNAMICS**

TUGAS AKHIR

Diajukan Guna Memenuhi Sebagian Persyaratan
Untuk Memperoleh Gelar Sarjana Teknik

Pada

Bidang Studi Teknik Sistem Pengaturan
Departemen Teknik Elektro
Fakultas Teknologi Elektronika dan Informatika Cerdas
Institut Teknologi Sepuluh Nopember

Menyetujui:

Dosen Pembimbing I

6/6/20



Ir. Rusdianto Effendi A.K., M.T.
NIP. 195704241985021001

**SURABAYA,
JUNI 2020**

Halaman ini sengaja dikosongkan

**ESTIMASI PARAMETER AERODINAMIKA MODEL ROKET
MENGGUNAKAN COMPUTATIONAL FLUID DYNAMICS**

TUGAS AKHIR

Diajukan Guna Memenuhi Sebagian Persyaratan
Untuk Memperoleh Gelar Sarjana Teknik

Pada

Bidang Studi Teknik Sistem Pengaturan
Departemen Teknik Elektro
Fakultas Teknologi Elektronika dan Informatika Cerdas
Institut Teknologi Sepuluh Nopember

Menyetujui:

Dosen Pembimbing II



Zulkifli Hidayat, ST., M.Sc.
NIP. 197012251999031002

**SURABAYA,
JUNI 2020**

Halaman ini sengaja dikosongkan

ESTIMASI PARAMETER AERODINAMIKA MODEL ROKET MENGGUNAKAN COMPUTATIONAL FLUID DYNAMICS

Dimas Agung Prabowo
07111640000017

Dosen Pembimbing :

1. Ir. Rusdhianto Effendi A.K., M.T.
2. Zulkifli Hidayat, ST., M.Sc.

ABSTRAK

Dalam dunia militer, roket adalah sebuah senjata yang dapat dikendalikan secara langsung atau otomatis untuk mengenai targetnya. Untuk memastikan roket tersebut mampu bergerak mengenai target yang telah ditentukan, roket harus mampu dikendalikan untuk selalu mendekati target yang diatur oleh aturan pengendalian dan pemanduan. Pengendalian dan pemanduan sebuah roket membutuhkan sebuah model matematika dari roket tersebut. Semakin akurat model roket dengan keadaan nyata, maka akan semakin akurat pula pengendalian yang akan dicapai. Agar model matematika roket akurat diperlukan informasi mengenai parameter-parameter roket. Terdapat parameter terukur yang diperoleh dari hasil pengukuran dimensi fisik roket. Dan terdapat parameter tidak terukur yang diperoleh melalui hasil estimasi. Salah satu parameter yang diperoleh melalui hasil estimasi adalah parameter aerodinamika roket. Agar didapatkan model yang baik parameter terukur dan parameter tidak terukur perlu diperoleh, sehingga parameter aerodinamika roket perlu untuk diestimasi. Pada penelitian ini dilakukan estimasi parameter aerodinamika roket. Estimasi dilakukan dengan metode CFD. Dengan hasil estimasi parameter aerodinamika model matematika lengkap roket dapat diperoleh. Dilakukan validasi numerik untuk memvalidasi hasil parameter yang diperoleh. Validasi numerik dilakukan dengan metode *grid independency test*, *residual criteria convergence*, dan konsistensi nilai. Hasil estimasi parameter memenuhi ketiga metode validasi untuk dapat digunakan. Hasil estimasi parameter menghasilkan persamaan koefisien momen dan gaya aerodinamika pada setiap sumbu. Persamaan tersebut akan disubtitusikan ke persamaan model matematika roket dan disimulasikan untuk mendapatkan validasi kualitatif roket. Hasil validasi kualitatif roket menghasilkan karakteristik roket yang sesuai dengan karakteristik gerak roket dalam keadaan ideal

(tanpa gangguan). Dengan karakteristik gerak parabola, sudut *pitch* tidak menukik tajam (sekitar 1,2 rad), dan roket selalu melakukan roll.

Kata Kunci : Roket, *Computational Fluid Dynamics*, Koefisien Aerodinamik, *Reynold-Average Navier-Stokes*, Estimasi Parameter.

ESTIMATION OF AERODYNAMICS PARAMETER OF ROCKET MODEL USING COMPUTATIONAL FLUID DYNAMICS

Dimas Agung Prabowo
07111640000017

Supervisor : 1. Ir. Rusdhianto Effendi A.K., M.T.
 2. Zulkifli Hidayat, ST., M.Sc.

ABSTRACT

In the military world, a rocket is a weapon that can be controlled directly or automatically to hit its target. To ensure that the rocket is able to move about a predetermined target, the rocket must be able to be controlled to always approach the target set by the control and scouting rules. Control and guiding a rocket requires a mathematical model of the rocket. The more accurate the rocket model is with the real situation, the more accurate the control that will be achieved. For an accurate rocket mathematical model information about rocket parameters is needed. There are measurable parameters obtained from the measurement of the physical dimensions of the rocket. And there are immeasurable parameters obtained through the estimation methods. One of the parameters obtained through the estimation methods is the rocket aerodynamic parameters. In order to get a good model the measured parameters and the unmeasured parameters need to be obtained, so that the rocket aerodynamic parameters need to be estimated. In this study, estimation of rocket aerodynamic parameters was carried out. Estimation is done by the CFD method. With the results of the estimation of the aerodynamic parameters of a complete mathematical model can be obtained. Numerical validation is performed to validate the parameters obtained. Numerical validation methods is done by the grid independence test, convergence residual criteria, and value consistency. The parameter estimation results meet all three validation methods to be used. The parameter estimation results in the equation of the moment coefficient and aerodynamic force on each axis. The equation will be substituted into the rocket mathematical model equation and simulated to get a qualitative rocket validation. The results of the rocket qualitative validation produce rocket characteristics that match the rocket's motion characteristics

under ideal conditions (without interference). With the characteristics of parabolic motion, the pitch angle does not dip sharply (around 1.2 rad), and the rocket always rolls.

Keyword : *Rocket, Computational Fluid Dynamics, Aerodynamics Coefficient, Reynold-Average Navier-Stokes, Parameter Estimation.*

KATA PENGANTAR

Puji syukur penulis panjatkan kepada Tuhan YME yang telah memberikan rahmat dan karunianya, sehingga penulis dapat membuat dan menyelesaikan tugas akhir ini dengan semestinya serta tepat waktu.

Kegiatan tugas akhir ini termasuk salah satu mata kuliah yang wajib ditempuh di Departemen Teknik Elektro Institut Teknologi Sepuluh Nopember ini. Penelitian yang penulis lakukan mengambil topik Estimasi Parameter Aerodinamika Model Roket Menggunakan Computational Fluid Dynamics. Laporan tugas akhir ini disusun untuk melengkapi hasil capaian dari penelitian yang telah dilaksanakan.

Penulis menyadari dalam penyelesaian tugas akhir ini, penulis tidak terlepas dari dukungan dan bantuan yang diberikan oleh banyak pihak. Pada kesempatan ini, penulis ingin menyampaikan ucapan terimakasih yang sebesar – besarnya kepada :

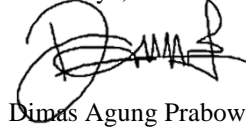
1. ALLAH SWT. dan Nabi Muhammad SAW. yang telah menuntun umat manusia dari zaman gelap gulita menuju jalan yang terang.
2. Bapak Rojikin, S.Pd dan Ibu Maryuning, S.Pd selaku orang tua dari penulis serta Erwin Wieddiyanto, S.Pt dan Erix Agus Nugroho, S.T selaku kakak dari penulis serta seluruh keluarga besar yang tidak mungkin disebutkan satu - persatu yang selalu memberikan dukungan, doa dan menjadi inspirasi penulis.
3. Bapak Ir. Rusdhianto Effendi A.K., M.T selaku dosen pembimbing 1 tugas akhir penulis, yang memberikan waktu dan ilmu dan dengan sabar mengarahkan dan membimbing selama proses pengerjaan Tugas Akhir.
4. Bapak Zulkifli Hidayat, ST., M.Sc. selaku dosen pembimbing 2 tugas akhir penulis, yang memberikan dukungan dan bimbingan ilmu kepada penulis selama proses pengerjaan Tugas Akhir.
5. Mas Mochamad Nur Qomarudin, yang selalu memberikan dukungan dan arahan selama proses pengerjaan Tugas Akhir.
6. Seluruh keluarga Lab Sistem dan Sibernetika yang selalu memberikan dukungan moral dan material kepada penulis sehingga penulis dapat menyelesaikan Tugas Akhir.
7. Teman-teman Prodi Sistem Pengaturan yang selalu membantu dan saling mendukung untuk menyelesaikan Tugas Akhir.

8. Hallandhea Radhina Ladyla, S.Sn untuk segala bentuk dukungan moral, material, dan kesetiannya.
9. Keluarga SSS Smasa Blitar yang selalu memberikan dukungan dan menjadi *support system* yang selalu ada untuk melepas penat dan menaikkan semangat
10. Kesatria warkop (Robby dan Rizal) yang selalu ada untuk membuat hidup di Surabaya menjadi lebih menggembirakan dan menyenangkan.
11. Shaffan Ahda Izzatullah yang telah membantu dalam pembuatan model geometri dan sumber teori penunjang dalam pengerjaan Tugas Akhir.
12. Segenap teman – teman angkatan 2016 teknik elektro ITS (E 56) yang selalu membantu dan memberikan semangat kepada penulis.
13. Seluruh pihak yang belum disebutkan di atas yang memberikan doa, bantuan, dan dukungan bagi penulis hingga Tugas Akhir ini dapat terselesaikan dengan baik.

Sekali lagi Penulis ucapkan terima kasih sebagai bentuk penghargaan setinggi-tingginya untuk segala bentuk bantuan dan kerja sama selama ini.

Penulis menyadari bahwa banyak kekurangan dari laporan tugas akhir ini, baik dari segi materi maupun teknis penyajiannya, mengingat masih kurangnya pengetahuan dan pengalaman penulis. Namun pengalaman dan wawasan baru yang penulis banyak dapatkan juga patut untuk penulis syukuri dan diterapkan menjadi ilmu yang manfaat.

Surabaya, 8 Juni 2020



Dinas Agung Prabowo

DAFTAR ISI

PERNYATAAN KEASLIAN TUGAS AKHIR	VII
ABSTRAK.....	XIII
<i>ABSTRACT.....</i>	XV
KATA PENGANTAR	XVII
DAFTAR ISI.....	XIX
DAFTAR GAMBAR	XXIII
DAFTAR TABEL.....	XXV
BAB 1 PENDAHULUAN	1
1.1 Latar Belakang.....	1
1.2 Perumusan Masalah.....	2
1.3 Batasan Masalah	3
1.4 Tujuan Penelitian.....	3
BAB 2 ESTIMASI PARAMETER AERODINAMIKA.....	5
2.1 Penelitian Terdahulu.....	5
2.1.1 Penelitian Bei-gang Mi et al [2].....	5
2.1.2 Penelitian David Frostbutter et al [3].....	6
2.1.3 Penelitian Benjamin Shoesmith et al [4].....	7
2.1.4 Penelitian Jurabaj Sahu et al [5]	7
2.2 Model Kinematika dan Dinamika Roket	8
2.2.1 Dinamika Translasi Roket	10
2.2.2 Dinamika Rotasi Roket	11
2.3 Aliran Eksternal.....	12
2.3.1 Konsep Lapis Batas (<i>Boundary Layer</i>)	12
2.3.2 Karakteristik <i>Boundary Layer</i>	14
2.3.3 Separasi pada <i>Boundary Layer</i>	15
2.3.4 Koefisien Aerodinamika	16
2.4 <i>Numerical Modelling</i>	19

2.4.1	<i>Computational Fluid Dynamic (CFD)</i>	19
2.4.2	Formulasi Matematika CFD	19
2.4.3	Ekspansi Deret Taylor	20
2.4.4	Deskripsi model turbulensi RANS	21
BAB 3 METODOLOGI ESTIMASI PARAMETER		25
3.1	Proses Simulasi CFD	25
3.2	Preprocessing	26
3.2.1	Geometri Benda Uji	27
3.2.2	Konfigurasi Pengujian.....	27
3.2.3	Domain Simulasi.....	31
3.2.4	<i>Meshing</i>	31
3.3	<i>Processing (Fluent)</i>	35
3.4	Postprocessing	38
3.5	Model Roket Untuk Validasi Kualitatif	39
3.6	Flowchart Penelitian	40
BAB 4 HASIL DAN ANALISA CFD		43
4.1	Validasi Numerik.....	43
4.1.1	Grid Independence Test	43
4.1.2	Residual Convergence Criteria.....	44
4.1.3	Konsistensi Nilai	45
4.2	Hasil CFD	52
4.2.1	Hasil Kuantitatif	52
4.2.2	Hasil Kualitatif	62
4.3	Hasil Model Matematika	63
4.3.1	Persamaan <i>CFX</i>	63
4.3.2	Persamaan <i>CFY</i>	64
4.3.3	Persamaan <i>CFZ</i>	64
4.3.4	Persamaan <i>CMX</i>	65
4.3.5	Persamaan <i>CMY</i>	65
4.3.6	Persamaan <i>CMZ</i>	66
4.3.7	Model Matematika Keseluruhan	67
4.4	Validasi Kualitatif	68

BAB 5 KESIMPULAN DAN SARAN.....	72
5.1 Kesimpulan.....	72
5.2 Saran	72
DAFTAR PUSTAKA	74
LAMPIRAN.....	78
BIOGRAFI PENULIS	112

Halaman ini sengaja dikosongkan

DAFTAR GAMBAR

GAMBAR 2.1 PLOT DARI STEP RESPONSE	5
GAMBAR 2.2 KONFIGURASI TACTOM. (A) TAMPAK SAMPING DARI BUKAAN PENUH SAYAP EKOR. (B) BUKAAN SAYAP SETELAH PROSES PELUNCURAN	6
GAMBAR 2.3 KONFIGURASI ROKET MODEL N2DB28F240	7
GAMBAR 2.4 TIGA KONFIGURASI YANG DIUJI (A) BASELINE SHOULDER- LAUNCHED, (B) ARTILLERY AFT-END, (C) MORTAR AFT-END.....	8
GAMBAR 2.5 ENAM DERAJAT KEBEBASAN ROKET	9
GAMBAR 2.6 STRUKTUR Lapis BATAS	13
GAMBAR 2.7 ALIRAN DENGAN <i>PRESSURE GRADIENT</i>	15
GAMBAR 2.8 İLÜSTRASI HASIL SIMULASI ESTIMASI CFD PADA ROKET ..	19
GAMBAR 3.1 DIAGRAM ALIR SIMULASI CFD	26
GAMBAR 3.2 GEOMETRI HYDRA 70 APKWS	27
GAMBAR 3.3 KONFIGURASI SUDUT A DAN B	28
GAMBAR 3.4 DEFINISI SUDUT DEFLEKSI (Δ).....	28
GAMBAR 3.5 DOMAIN SIMULASI HYDRA 70 APKWS TAMPAK 3D.....	31
GAMBAR 3.6 HASIL PROSES MESH PADA ROKET HYDRA 70 APKWS	32
GAMBAR 3.7 HASIL PROSES MESH PADA BAGIAN APKWS	33
GAMBAR 3.8 HASIL PROSES MESH PADA SELURUH DOMAIN SIMULASI ROKET HYDRA 70APKWS.....	34
GAMBAR 3.9 HASIL PROSES MESH PADA ROKET HYDRA 70 APKWS TAMPAK DEPAN.....	35
GAMBAR 3.10 BOUNDARY CONDITION HYDRA 70 APKWS	36
GAMBAR 3.11 DIAGRAM ALIR PROSES ITERASI.....	38
GAMBAR 3.12 BLOK DIAGRAM MODEL ROKET DUMMY	39
GAMBAR 3.13 FLOWCHART PENELITIAN	41
GAMBAR 4.1 GRAFIK JUMLAH SEL TERHADAP HASIL ESTIMASI.....	44
GAMBAR 4.2 GRAFIK RESIDUAL CFD	45
GAMBAR 4.3 GRAFIK ITERASI TERHADAP \mathbf{FX}	46
GAMBAR 4.4 GRAFIK ITERASI TERHADAP \mathbf{FY}	47
GAMBAR 4.5 GRAFIK ITERASI TERHADAP \mathbf{FZ}	48
GAMBAR 4.6 GRAFIK ITERASI TERHADAP \mathbf{MX}	49
GAMBAR 4.7 GRAFIK ITERASI TERHADAP \mathbf{MY}	50
GAMBAR 4.8 GRAFIK ITERASI TERHADAP \mathbf{MZ}	51
GAMBAR 4.9 KONTUR TEKANAN PADA BADAN ROKET	62
GAMBAR 4.10 KONTUR TEKANAN PADA DOMAIN SIMULASI	62

GAMBAR 4.11 TAMPAK DEPAN TEKANAN PADA SIRIP APKWS	63
GAMBAR 4.12 PLOT X, Y, DAN Z TERHADAP WAKTU	69
GAMBAR 4.13 PLOT ROLL, PITCH, DAN YAW TERHADAP WAKTU.....	70
GAMBAR 4.14 SIRIP EKOR MODEL ROKET	71
GAMBAR 0.1 KONTUR TEKANAN PADA BADAN ROKET	88
GAMBAR 0.2 KONTUR TEKANAN PADA DOMAIN SIMULASI	88
GAMBAR 0.3 TAMPAK DEPAN TEKANAN PADA SIRIP $\delta = 0o$	89
GAMBAR 0.4 TAMPAK DEPAN TEKANAN PADA SIRIP $+\delta a$	89
GAMBAR 0.5 TAMPAK DEPAN TEKANAN PADA SIRIP $-\delta a$	90
GAMBAR 0.6 TAMPAK DEPAN TEKANAN PADA SIRIP $+\delta e$	90
GAMBAR 0.7 TAMPAK DEPAN TEKANAN PADA SIRIP $-\delta e$	91
GAMBAR 0.8 TAMPAK DEPAN TEKANAN PADA SIRIP $+\delta r$	91
GAMBAR 0.9 TAMPAK DEPAN TEKANAN PADA SIRIP $-\delta r$	92

DAFTAR TABEL

TABEL 3.1 KONFIGURASI α , β , DAN δ EKSPERIMENT	29
TABEL 4.1 HASIL CFD HYDRA 70 APKWS.....	52
TABEL 4.2 HASIL PERHITUNGAN KOEFISIEN AERODINAMIKA.....	57
TABEL 4.1 HASIL CFD HYDRA 70 APKWS.....	78
TABEL 4.2 HASIL PERHITUNGAN KOEFISIEN AERODINAMIKA.....	83

Halaman ini sengaja dikosongkan

BAB 1

PENDAHULUAN

Dalam bab ini akan dipaparkan tentang latar belakang penelitian, permasalahan yang akan diselesaikan, tujuan dari penelitian, metodologi yang digunakan, sistematika penulisan serta relevansi penelitian ini terhadap penelitian sejenis atau lebih rumit di masa mendatang.

1.1 Latar Belakang

Proses perkembangan kehidupan manusia juga termasuk dalam aspek kemajuan dari dunia militer. Dalam maksud mempertahankan diri dari musuh (mereka yang menjadikan perang sebagai jalan untuk meningkatkan kondisi hidup) diperlukan peningkatan kemampuan persenjataan untuk mengikuti kemajuan teknologi. Sebagai pengganti dari melempar batu, melempar tombak, menembak peluru, dan menjatuhkan bom. Kemampuan destruktif dan defensif dapat diperoleh lebih baik dengan menggunakan roket. [1]

Dalam dunia militer, roket adalah sebuah senjata yang dapat dikendalikan secara langsung atau otomatis untuk mengenai targetnya. Untuk memastikan roket tersebut mampu bergerak mengenai target yang telah yang telah ditentukan, roket harus mampu dikendalikan untuk selalu mendekati target yang diatur oleh aturan pengendalian dan pemanduan. Sistem pengendalian dan pemanduan sebuah roket membutuhkan sebuah model matematika dari roket tersebut. Semakin akurat model matematika roket dengan keadaan nyata, maka akan semakin akurat pula pengendalian yang akan dicapai. Agar model matematika roket akurat diperlukan parameter-parameter roket untuk membuat model matematika roket. Terdapat parameter terukur yang diperoleh dari hasil pengukuran dimensi fisik roket dan terdapat parameter tidak terukur yang diperoleh melalui hasil estimasi. Salah satu parameter yang diperoleh melalui estimasi adalah parameter aerodinamika roket. Agar didapatkan model yang baik parameter terukur dan parameter tidak terukur perlu didapatkan, sehingga parameter aerodinamika roket perlu untuk diestimasi.

Terdapat dua metode estimasi parameter aerodinamika yang umum digunakan, yaitu: metode terowongan angin dan metode *computational fluid dynamic* (CFD). Metode terowongan angin memerlukan pembangunan fasilitas uji untuk melakukan estimasi dan memerlukan biaya besar untuk pembangunan fasilitas tersebut. CFD menawarkan

metode estimasi dengan bantuan komputer untuk meniru terowongan angin dan memerlukan biaya yang relatif lebih minimum dibandingkan terowongan angin. Oleh karena itu pada penelitian kali ini akan digunakan metode CFD untuk mengestimasi parameter aerodinamika.

1.2 Perumusan Masalah

Pengendalian roket diperlukan untuk melakukan simulasi sebelum merancang roket nyata. Semakin akurat simulasi pengendalian dan pemanduan roket, maka semakin akurat model tersebut dengan kondisi nyata. Untuk mengendalikan sebuah peluru kendali (roket) diperlukan model matematika roket. Perancangan model matematika roket harus berdasarkan parameter-parameter roket. Terdapat parameter terukur yang diperoleh dari hasil pengukuran dimensi fisik roket dan parameter tidak terukur yang diperoleh melalui estimasi. Salah satu parameter yang tidak terukur adalah parameter aerodinamika dari roket. Parameter aerodinamika roket diperlukan untuk menghasilkan model matematika roket yang akurat dengan model nyata. Estimasi parameter aerodinamika dapat diperoleh melalui simulasi terowongan angin atau Computational Fluid Dynamics(CFD).

CFD dapat digunakan tanpa memerlukan pembangunan fasilitas fisik yang digantikan dengan fasilitas simulasi virtual. Oleh karena itu, Perumusan masalah pada tugas akhir ini adalah bagaimana mengestimasi parameter aerodinamika roket dengan menggunakan metode Computational Fluid Dynamics (CFD) untuk mendapatkan model matematika roket agar roket dapat bergerak mengenai target yang telah ditentukan sistem pengendalian dan pemanduan.

1.3 Batasan Masalah

Agar permasalahan yang dibahas dalam penelitian ini lebih spesifik, maka permasalahan dalam penelitian ini dibatasi hanya pada hal – hal berikut:

- a. Model roket yang digunakan adalah model Hydra-70 APKWS.
- b. Aliran uniform *steady* (nilai parameter tidak berubah terhadap ruang dan waktu) dan *viscous incompressible* (fluida yang memiliki gaya gesek internal dan masa jeni fluida tetap sama pada tekanan berbeda) pada sisi inlet.
- c. Kecepatan aliran udara sesuai dengan kecepatan roket yaitu 1,5 mach.
- d. Kecepatan pada tahap meluncur dan pada tahap mengenai target dianggap sama dan digunakan kecepatan rata-rata yaitu 1,5 mach.
- e. Kemungkinan terjadinya perpindahan panas diabaikan.

1.4 Tujuan Penelitian

Penelitian ini akan meneliti karakteristik aliran 3D beserta efek gaya aerodinamika yang ditimbulkan pada saat melewati roket Hydra 70 APKWS dengan variasi sudut defleksi APKWS, *angle of attack*, dan *angle of sideslip*. Melalui hasil estimasi dengan metode Computational Fluid Dynamics (CFD) akan dikaji data numerik berupa nilai distribusi koefisien drag (C_{FX}), koefisien side force (C_{FZ}), koefisien lift (C_{FY}), koefisien aerodinamika roll (C_{MX}), koefisien aerodinamika pitch (C_{MZ}), dan koefisien aerodinamika yaw (C_{MY}).

Tujuan dari penelitian ini adalah untuk mendapatkan model matematika roket lengkap dengan memasukan persamaan aerodinamika. Persamaan aerodinamika didapatkan dengan proses *curve fitting* data hasil estimasi yang telah melalui validasi numerik. Model matematika yang didapatkan dapat memberikan karakteristik gerak roket yang sesuai dengan roket pada kenyataan dengan melalui proses validasi kualitatif.

Halaman ini sengaja dikosongkan

BAB 2

ESTIMASI PARAMETER AERODINAMIKA

2.1 Penelitian Terdahulu

2.1.1 Penelitian Bei-gang Mi et al [2]

Penelitian yang dilakukan Bei-gang Mi et al meneliti tentang metode Sistematis CFD dengan *step response motion* untuk menghitung koefisien aerodinamika statis dan dinamis pada *aircraft*. Penelitian ini menggunakan model *aircraft* SACCON UVAV dengan metode sistematis baru berdasarkan simulasi tiga dimensi. Metode sistematis baru yang digunakan pada penelitian ini berdasarkan pada *step response motion*. Dalam teknik elektronika dan teknik pengaturan, *step response* merupakan perilaku waktu ketika input berubah dari nol ke satu dalam waktu yang singkat. Yang dapat direpresentasikan dalam Gambar 2.1.



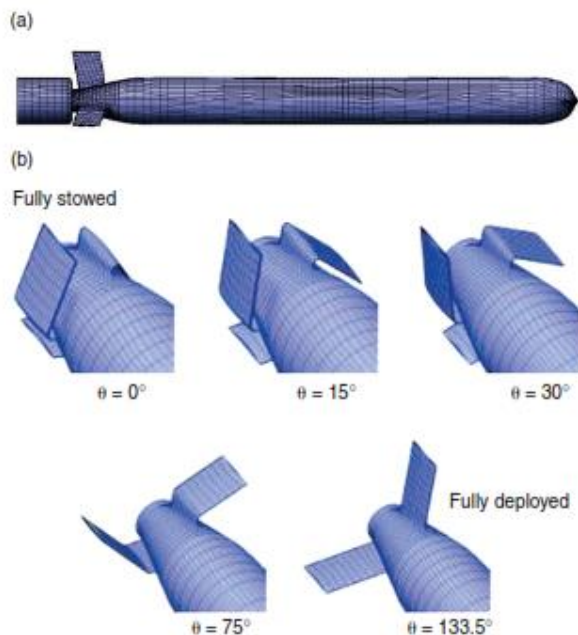
GAMBAR 2.1 PLOT DARI STEP RESPONSE [2]

Penelitian dilakukan pada estimasi koefisien aerodinamika statis dan dinamis. Pada koefisien aerodinamika statis *step response* digunakan untuk memodelkan karakteristik dari perubahan *angle of attack*. Pada koefisien aerodinamika dinamis *step response* digunakan untuk memodelkan karakteristik laju perubahan *angle of attack*.

Faktor biaya komputasi diperhatikan pada penelitian estimasi parameter aerodinamika dengan metode baru. Metode baru memerlukan biaya komputasi yang lebih ringan dibandingkan dengan Metode konvensional/lama.

2.1.2 Penelitian David Frostbutter et al [3]

Penelitian ini meneliti penggunaan CFD untuk desain teknis roket untuk proses *fin deployment*. Dalam penelitian yang dipaparkan, Frostbutter menggunakan model roket *Tactical Tomahawk* (TACTOM). Konfigurasi geometri roket dapat dilihat pada Gambar 2.2. Penelitian ini menggunakan program CFD VSAERO. Program VSAERO mengomputasikan potensial linearisasi aliran eksternal pada permukaan badan. Untuk aliran inviscid, incompressible, dan irrotational fungsi potensial dapat memenuhi hukum aliran yang berlaku. Validitas penggunaan VSAERO untuk TACTOM *fin deployment* tidak diragukan lagi karena karakteristik aliran tidak diluar dari batasan teori VSAERO. Dan program tersebut telah sukses digunakan untuk TACTOM *cruise configuration*.

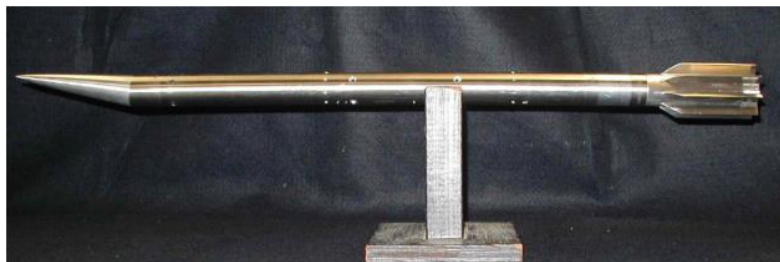


Gambar 2.2 Konfigurasi TACTOM. (a) tampak samping dari bukaan penuh sayap ekor. (b) bukaan sayap setelah proses peluncuran [3]

Hasil CFD momen aerodinamika konfigurasi TACTOM dari proses pembukaan dan penutupan (*deployment*) sayap sebagai fungsi *deployment angle* menunjukkan hasil yang non-linier. Karakteristik sudut bukaan pada tiga sayap ekor relatif berbeda.

2.1.3 Penelitian Benjamin Shoesmith et al [4]

Penelitian yang dilakukan Benjamin Shoesmith et al menganalisa aerodinamika proyektil supersonik dengan *deflectable nose control* dengan metode CFD. Model roket yang digunakan adalah model N2dB28F240 dengan geometri disediakan oleh AMRDEC dalam bentuk gambar teknik dengan menggunakan CAD.



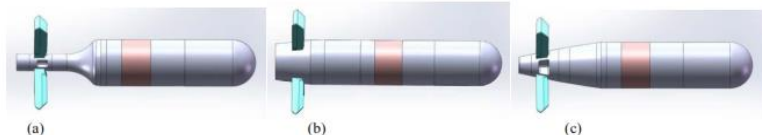
Gambar 2.3 konfigurasi roket model n2db28f240 [4]

Penelitian menggunakan bilangan Mach 3.0 untuk menginvestigasi aerodinamika roket. Derajat kebebasan dalam penelitian ini terbatas pada bidang *pitch*. Dalam penelitian ini Benjamin menggunakan program IMPNS sebagai solver CFD. Program IMPNS ini menggunakan persamaan yang dirumuskan untuk permasalahan *finite control volume* dan menyelesaikan dengan *implicit space marching procedure*. Data hasil estimasi koefisien momen dan gaya telah dibandingkan dengan data penelitian dengan metode terowongan angin dan menghasilkan data yang sesuai.

2.1.4 Penelitian Jurabaj Sahu et al [5]

Penelitian yang dilakukan Sahu, Jubraj et al meneliti CFD untuk Aerodinamika *Maneuvering Projectile* menggunakan *canard control*. Penelitian ini menggunakan tiga model uji. Model yang digunakan dalam penelitian ini adalah *baseline shoulder-launched, artillery aft-end*, dan

mortar aft-end. Pengujian dilakukan pada bilangan mach 0,5. Pada penelitian ini, persamaan 3D Reynold-Average Navier-Stokes digunakan. Menggunakan model turbulensi k- ε . Diskrittisasi orde dua digunakan untuk variabel aliran dan persamaan viskositas turbulen.



Gambar 2.4 tiga konfigurasi yang diuji (a) baseline shoulder-launched, (b) artillery aft-end, (c) mortar aft-end [5]

Konfigurasi *artillery* secara signifikan memiliki gaya angkat lebih besar, menghasilkan koefisien gaya normal yang lebih besar pada *angle of attack* uji dibandingkan konfigurasi lain untuk *angle of attack* yang sama.

2.2 Model Kinematika dan Dinamika Roket

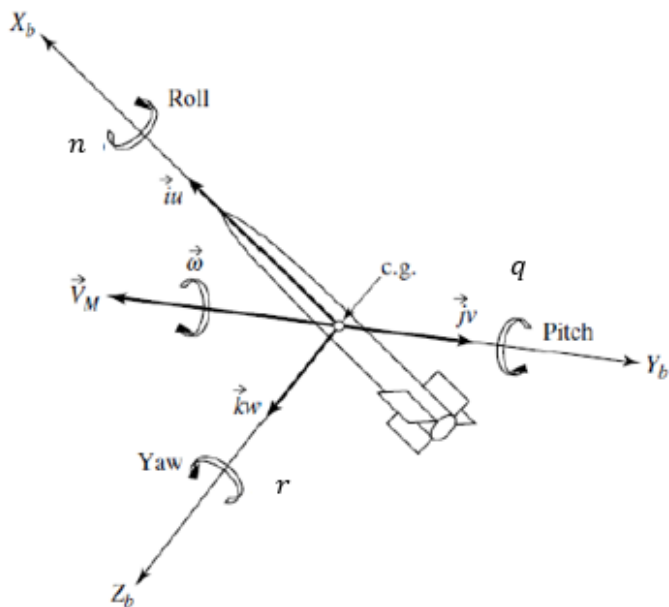
Agar mampu merancang sistem kontrol yang tepat untuk mengendalikan Roket yang akan didesain, maka perlu diketahui model matematika dinamika dan kinematika Roket yang menggambarkan bagaimana Roket tersebut bergerak di suatu ruang. Secara umum, terdapat dua macam model matematika yang perlu diketahui agar dapat menyimulasikan roket yaitu model dinamika dan kinematika Roket.

Persamaan kinematika roket adalah model matematika yang menggambarkan karakteristik gerak sebuah Roket tanpa mempersoalkan gaya-gaya penyebab gerakannya. Persamaan kinematika Roket digunakan untuk mengubah gerak Roket dalam sistem koordinat badan ke dalam sistem koordinat bumi.

Persamaan dinamika Roket adalah model matematika yang menggambarkan pengaruh gaya-gaya terhadap pergerakan pada Roket seperti gaya aerodinamika, gaya dorong, dan lainnya. Persamaan gerak Roket dapat diturunkan menggunakan hukum fisika salah satunya adalah hukum Newton.

Sedangkan secara umum, Roket digambarkan sebagai sistem yang memiliki enam derajat kebebasan yang meliputi tiga derajat

kebebasan gerak rotasi dan tiga derajat kebebasan gerak translasi pada masing-masing sumbu koordinat kartesian seperti ditunjukkan Gambar 2.5. Gerak rotasi ini dinamakan gerak *roll*, *pitch* dan *yaw* terhadap sumbu *x*, *y* dan *z* secara berurutan atau yang biasa disebut dengan sudut Euler. Selain itu gaya-gaya tersebut yang memengaruhi Roket selama bergerak di udara, terdapat faktor eksternal berupa gangguan angin yang dapat mengganggu pergerakan Roket dalam mengikuti referensi yang diberikan. Faktor lain yang memengaruhi adalah parameter-parameter yang memengaruhi seperti kecepatan udara, tekanan udara, massa Roket yang berubah dikarenakan bahan bakar yang berkurang karena pembakaran dan lain sebagainya. [6]



Gambar 2.5 Enam derajat kebebasan roket [6]

2.2.1 Dinamika Translasi Roket

Dinamika translasi mewakili model matematika gerak roket yang dikenai gaya eksternal. Pada dasarnya, dinamika translasi ini berbasis pada Hukum Newton II yang ditinjau dari kerangka koordinat badan yang berotasi. Persamaan dinamika translasi untuk sumbu X, Y, dan Z adalah sebagai berikut

$$\begin{aligned} \mathbf{a}_x &= \frac{d\mathbf{u}}{dt} = \frac{\mathbf{F}_{xtot}}{m} + \mathbf{rv} - \mathbf{qw} \\ \mathbf{a}_y &= \frac{d\mathbf{v}}{dt} = \frac{\mathbf{F}_{ytot}}{m} + \mathbf{nw} - \mathbf{ru} \\ \mathbf{a}_z &= \frac{d\mathbf{w}}{dt} = \frac{\mathbf{F}_{ztot}}{m} + \mathbf{qu} - \mathbf{nv} \end{aligned} \quad (2.1)$$

Persamaan percepatan ketiga sumbu di atas dapat disederhanakan penulisannya dalam bentuk vektor sebagai berikut

$$\mathbf{a}_b = \frac{\mathbf{F}_b}{m} + (\boldsymbol{\omega}_b \times \mathbf{v}_b) \quad (2.2)$$

dimana \times adalah perkalian cross dua vektor.

Gaya translasi yang terlibat pada roket antara lain: *thrust* (pendorong roket), gaya gravitasi dan gaya aerodinamis, sebagaimana persamaan berikut.

$$\mathbf{F}_{btot} = \begin{bmatrix} \mathbf{F}_{xtot} \\ \mathbf{F}_{ytot} \\ \mathbf{F}_{ztot} \end{bmatrix} = \begin{bmatrix} \mathbf{T} + \mathbf{F}_{gx} + \mathbf{F}_X \\ \mathbf{F}_{gy} + \mathbf{F}_Y \\ \mathbf{F}_{gz} + \mathbf{F}_Z \end{bmatrix} \quad (2.3)$$

dimana gaya gravitasi dinyatakan dengan

$$\mathbf{F}_{gb} = \begin{bmatrix} \mathbf{F}_{gx} \\ \mathbf{F}_{gy} \\ \mathbf{F}_{gz} \end{bmatrix} = \begin{bmatrix} -mg \sin \theta \\ mg \sin \phi \cos \theta \\ mg \cos \phi \cos \theta \end{bmatrix} \quad (2.4)$$

dan gaya aerodinamika dinyatakan dengan

$$\mathbf{F}_b = \begin{bmatrix} \mathbf{F}_X \\ \mathbf{F}_Y \\ \mathbf{F}_Z \end{bmatrix} = \begin{bmatrix} \mathbf{PSC}_{FX} \\ \mathbf{PSC}_{FY} \\ \mathbf{PSC}_{FZ} \end{bmatrix} \quad (2.5)$$

dimana,

T : *thrust*, gaya dorong roket (N)

ρ : masa jenis udara (Kg/m^3)

u, v, w : kecepatan translasi roket terhadap koordinat badan

n, q, r	: kecepatan rotasi roket terhadap koordinat badan
ϕ, θ, ψ	: sudut euler yang mewakili rotasi koordinat badan terhadap koordinat bumi
P	: tekanan udara bergerak, dihitung dengan $P = \frac{\rho V^2}{2}$
S	: luas permukaan roket (m^2)
l	: panjang roket (m)
C_{FX}	: koefisien gaya sumbu X
C_{FY}	: koefisien gaya Sumbu Y
C_{FZ}	: koefisien gaya Sumbu Z

2.2.2 Dinamika Rotasi Roket

Roket tidak dapat terlepas dari gerak rotasi, sehingga momen inersia roket harus dilibatkan dalam model matematika dinamika rotasi. Secara umum, matriks inersia benda dinyatakan dengan matriks berikut

$$I = \begin{bmatrix} I_{xx} & -I_{xy} & -I_{xz} \\ -I_{yx} & I_{yy} & -I_{yz} \\ -I_{zx} & -I_{zy} & I_{zz} \end{bmatrix} \quad (2.6)$$

dimana I_{xx} , I_{yy} , dan I_{zz} adalah momen inersia benda ketika diputar terhadap sumbu X, Y, dan Z.

Roket diasumsikan sebagai objek yang simetris terhadap bidang XY, XZ, dan YZ, sehingga $I_{xy} = I_{yx} = I_{xz} = I_{zx} = I_{yz} = I_{zy} = 0$. Roket bermassa m diasumsikan memiliki bentuk silinder dengan diameter d dan panjang l , sehingga momen inersia dapat dihitung setiap saat dengan persamaan berikut.

$$\begin{aligned} I &= \begin{bmatrix} I_{xx} & 0 & 0 \\ 0 & I_{yy} & 0 \\ 0 & 0 & I_{zz} \end{bmatrix} \\ &= \begin{bmatrix} \frac{1}{8}md^2 & 0 & 0 \\ 0 & \frac{1}{12}ml^2 + \frac{1}{16}md^2 & 0 \\ 0 & 0 & \frac{1}{12}ml^2 + \frac{1}{16}md^2 \end{bmatrix} \end{aligned} \quad (2.7)$$

Dinamika rotasi mewakili model dinamika gerak rotasi akibat momen atau gaya putar eksternal terhadap roket. Persamaan dinamika rotasi untuk sumbu X, Y, Z adalah persamaan percepatan rotasi pada ketiga sumbu sebagai berikut

$$\begin{aligned}\frac{dp}{dt} &= \frac{\mathbf{M}_x + (I_{yy} - I_{zz})qr}{I_{xx}} \\ \frac{dq}{dt} &= \frac{\mathbf{M}_y + (I_{zz} - I_{xx})nr}{I_{yy}} \\ \frac{dr}{dt} &= \frac{\mathbf{M}_z + (I_{yy} - I_{xx})nq}{I_{zz}}\end{aligned}\tag{2.8}$$

Momen rotasi pada roket adalah gaya putar yang menyebabkan roket melakukan gerak rotasi. Momen rotasi roket untuk ketiga sumbu rotasi dinyatakan dengan persamaan berikut

$$\mathbf{M}_b = \begin{bmatrix} \mathbf{M}_x \\ \mathbf{M}_y \\ \mathbf{M}_z \end{bmatrix} = \begin{bmatrix} PSdC_{MX} \\ PSdC_{MY} \\ PSdC_{MZ} \end{bmatrix}\tag{2.9}$$

dimana,

- d : diameter roket (m)
- C_{MX} : koefisien momen roll
- C_{MY} : koefisien momen pitch
- C_{MZ} : koefisien momen yaw

2.3 Aliran Eksternal

Aliran Eksternal merupakan aliran yang berada di luar atau melalui obyek/benda padat yang dikelilingi aliran fluida. Misalnya aliran yang melalui benda padat, *airfoil*, roket, mobil, kincir angin, lambung kapal, dsb. [7]

2.3.1 Konsep Lapis Batas (*Boundary Layer*)

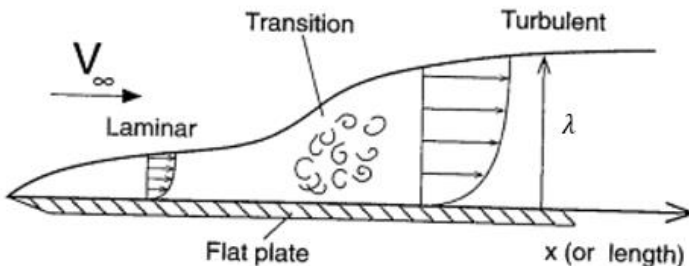
Boundary layer (lapis batas) merupakan lapisan tipis pada *solid surface* yang terbatas daerah sangat sempit dekat permukaan kontur

dengan kecepatan fluida tidak *uniform* dikarenakan tegangan geser yang muncul akibat viskositas.

Dari penjelasan di atas, aliran melintasi suatu kontur diklasifikasikan menjadi dua daerah yaitu :

- a. Daerah di dalam lapis batas (dekat permukaan kontur) dengan efek viskositas yang sangat berpengaruh (*viscous flow*).
- b. Daerah di luar lapis batas dengan efek viskositas diabaikan (*nonviscous flow*).

Gambar 2.6 memperlihatkan suatu fluida mengalir dengan distribusi kecepatan yang sama atau *uniform* (U_{∞}). Ketika melewati suatu solid surface, aliran tersebut mengalami distribusi kecepatan yang berbeda sebagai pengaruh adanya tegangan geser pada permukaan padat. Distribusi kecepatan ini dimulai dari titik di permukaan padat tersebut, dimana aliran fluida mempunyai kecepatan nol. Kemudian menjadi semakin besar ketika menjauhi permukaan badan. Pengaruh tegangan geser akan hilang pada posisi tertentu dan kecepatan fluida mencapai harga kecepatan fluida *nonviscous* ($u = 0,99 U_{\infty}$). Posisi tersebut merupakan batas daerah *viscous* dengan bagian *nonviscous*. Jarak yang terukur dari permukaan padat arah normal hingga posisi tersebut disebut tebal lapis batas (*boundary layer thickness*, λ). Dimana tebal lapis batasnya akan meningkat seiring dengan bertambahnya jarak atau lintasan.



Gambar 2.6 Struktur Lapis Batas [7]

Lapis batas pada permukaan padat akan berkembang dari ujung plat (*leading edge*). Tebal lapis batas pada daerah *leading edge* masih tipis,

dimana partikel-partikel bergerak secara berlapis-lapis dan lapis batas yang terjadi disebut lapis batas laminar. Semakin jauh fluida bergerak dari ujung plat, lapis batas akan semakin berkembang dan aliran akan berubah mendekati turbulen.

Adanya lapis batas menyebabkan kerugian momentum flux dibanding aliran *inviscid*. Ketebalan dalam aliran *inviscid* yang mempunyai momentum flux sama dengan defisit momentum flux dalam lapis batas disebut momentum *thickness* (λ). Kerugian momentum ini dapat digunakan untuk mengetahui seberapa besar koefisien friksi permukaan (C_f). [8]

2.3.2 Karakteristik *Boundary Layer*

Jenis lapis batas yang terjadi pada aliran udara yang mengaliri suatu obyek sangat ditentukan oleh bilangan *Reynolds* (R_e). Hal ini dapat dijelaskan bahwa dalam lapis batas gaya *viscous* dan gaya inersia sangat penting, sementara bilangan reynolds sendiri menggambarkan perbandingan antara gaya inersia terhadapa gaya *viscous*.

$$R_e = \frac{\text{Gaya Inersia}}{\text{Gaya Viscous}} \quad (2.10)$$

dimana:

$$\text{Gaya inersia} = P \times S = \rho \cdot U_{\infty}^2 \cdot l^2 \quad (2.11)$$

$$\text{Gaya viscous} = \tau \times S = \left(\frac{\mu \cdot U_{\infty}}{L} \right) \cdot l^2 \quad (2.12)$$

sehingga,

$$R_e = \frac{\rho \cdot U_{\infty}^2 \cdot l^2}{\left(\frac{\mu \cdot U_{\infty}}{L} \right) \cdot l^2} = \frac{\rho \cdot U_{\infty} \cdot l}{\mu} \quad (2.13)$$

dimana,

ρ : Masa jenis fluida

U_{∞} : Kecepatan aliran *free-stream* fluida

l : Panjang roket

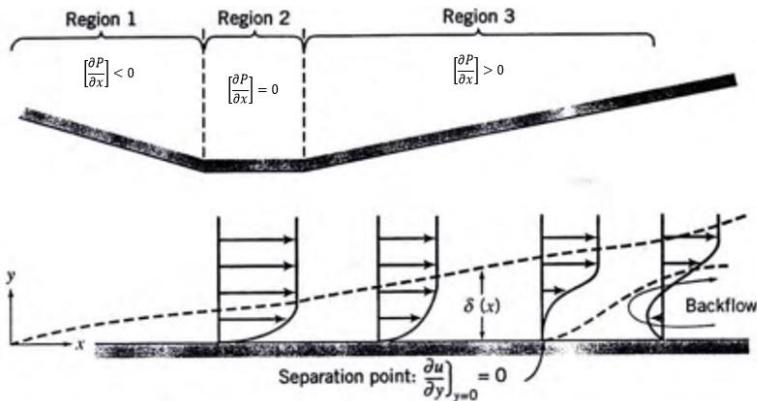
μ : Viskositas dinamis fluida

sehingga,

$$R_e = \frac{\rho \cdot U_\infty \cdot l}{\mu} \quad (2.14)$$

2.3.3 Separasi pada Boundary Layer

Di dalam *boundary layer* ditemukan suatu fenomena yang disebut sebagai separasi. Separasi ini menimbulkan aliran yang terbalik arahnya dari aliran utama. Separasi merupakan peristiwa dimana aliran fluida terpisah dari permukaan benda. Proses separasi diawali dengan adanya aliran fluida yang terus menerus mengalami perubahan karena adanya gaya gesek. Akibat gaya gesek tersebut, momentum alirannya berkurang sampai suatu saat momentum alirannya sudah tidak bisa mengatasi hambatan sehingga aliran akan terpisah dari permukaan benda. Pada titik dimana separasi terjadi, gradien tekanan pada permukaan benda adalah nol dan aliran fluida di belakang titik separasi arahnya berlawanan dengan arah aliran utama.



Gambar 2.7 Aliran dengan *pressure gradient* [7]

Separasi sangat dipengaruhi oleh gradien tekanan sepanjang aliran, khususnya oleh *adverse pressure gradient*, yaitu tekanan (P) yang semakin meningkat sejajar dengan arah aliran sepanjang permukaan benda kerja $\left[\frac{\partial P}{\partial x}\right] > 0$. Pada daerah *adverse pressure gradient*, aliran fluida akan mengalami hambatan selain karena adanya gesekan juga karena adanya kenaikan tekanan pada arah aliran fluida. Pada saat momentum fluida sudah tidak dapat melawan hambatan ini, aliran fluida

tidak akan bisa bergerak lebih jauh sepanjang permukaan benda hingga aliran akan mengalami separasi.

2.3.4 Koefisien Aerodinamika

Koefisien aerodinamik merupakan besaran non-dimensional yang mendeskripsikan udara, reaksi-reaksi dan akibat-akibat yang timbul dari gerakan udara terhadap benda yang dilalui oleh udara atau gerakan benda-benda di dalam udara tersebut. [9]

Pemahaman akan pergerakan udara (seringkali disebut "medan aliran") di sekitar suatu model memungkinkan untuk melakukan perhitungan gaya-gaya dan momen-momen yang bertindak pada benda tersebut. Sifat-sifat sejenis yang dihitung untuk suatu medan aliran meliputi kecepatan, tekanan, kerapatan, dan temperatur sebagai fungsi posisi ruang dan waktu. Aerodinamika memungkinkan untuk mendapatkan definisi dan solusi persamaan untuk kekekalan massa, momentum, dan energi di dalam udara. Penggunaan aerodinamika melalui analisis matematika, percobaan lorong angin, dan simulasi CFD membentuk landasan ilmiah bagi ilmu penerbangan, roket, dan sejumlah teknologi lainnya.

Enam persamaan berikut mendeskripsikan bagaimana fungsi-fungsi koefisien aerodinamika digabungkan untuk menghasilkan enam koefisien aerodinamika total:

$$C_{FX} = C_{FX,o}(\alpha, \beta) + C_{FX_{\delta_e}}(\alpha)\delta_e + C_{FX_{|\delta_a|}}(\alpha)|\delta_a| + C_{FX_{|\delta_r|}}(\alpha)|\delta_r| \quad (2.15)$$

$$C_{FY} = C_{FY,o}(\alpha, \beta) + C_{FY_{\delta_e}}(\alpha)\delta_e \quad (2.16)$$

$$C_{FZ} = C_{FZ,\beta}(\alpha, \beta) + C_{FZ_{\delta_a}}(\alpha)\delta_a + C_{FZ_{\delta_r}}(\alpha)\delta_r \quad (2.17)$$

$$C_{MX} = C_{MX,\beta}(\alpha, \beta) + C_{MX_{\delta_a}}(\alpha)\delta_a + C_{MX_{\delta_r}}(\alpha)\delta_r \quad (2.18)$$

$$C_{MY} = C_{MY,o}(\alpha, \beta) + C_{MY_{\delta_a}}(\alpha)\delta_a + C_{MY_{\delta_r}}(\alpha)\delta_r \quad (2.19)$$

$$C_{MZ} = C_{MZ,o}(\alpha, \beta) + C_{MZ_{\delta_e}}(\alpha)\delta_e + C_{MZ_{|\delta_a|}}(\alpha)|\delta_a| \quad (2.20)$$

Koefisien non-dimensi ini kemudian diskalikan untuk memberikan dimensi gaya (F_i) dan momen (M_i), sebagai berikut:

$$F_X = PSC_{FX} \quad (2.21)$$

$$F_Y = PSC_{FY} \quad (2.22)$$

$$F_Z = PSC_{FZ} \quad (2.23)$$

$$M_X = PSIC_{MX} \quad (2.24)$$

$$M_Y = PSIC_{MY} \quad (2.25)$$

$$M_Z = PSIC_{MZ} \quad (2.26)$$

dimana,

P	: tekanan udara bergerak, dihitung dengan $P = \frac{\rho V^2}{2}$
S	: luas permukaan rudal (m^2)
l	: panjang rudal (m)
C_{FX}	: koefisien gaya sumbu X
C_{FY}	: koefisien gaya Sumbu Y
C_{FZ}	: koefisien gaya Sumbu Z
C_{MX}	: koefisien momen roll
C_{MY}	: koefisien momen pitch
C_{MZ}	: koefisien momen yaw
α	: angle of attack
β	: angle of slideslip
δ_a	: defleksi aileron
δ_e	: defleksi elevator
δ_r	: defleksi rudder
p	: roll rate
q	: pitch rate
r	: yaw rate
V	: kecepatan aliran

Koefisien aerodinamik dapat dibagi menjadi koefisien derivatif statis dan koefisien derivatif dinamis. Kedua koefisien tersebut didapatkan dengan menggunakan Simulasi CFD. Pada persamaan

koefisien derivatif dinamis merupakan persamaan terhadap kecepatan. Pada batasan masalah dalam penelitian ini menggunakan kecepatan rata-rata yaitu 1,5 mach, maka koefisien derivatif dinamis tidak akan digunakan.

Koefisien derivatif statis didapatkan dengan simulasi CFD dengan menggunakan aliran udara linear untuk mengidentifikasi koefisien-koefisien berikut C_{FX} , C_{FY} , C_{FZ} , C_{MX} , C_{MY} , dan C_{MZ} dimana:

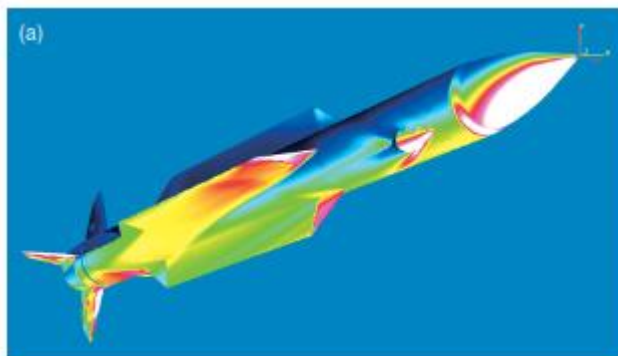
- $C_{FX,o}$: koefisien gaya sumbu X dengan konfigurasi dasar
- $C_{FX\delta_e}$: koefisien gaya sumbu X terhadap defleksi elevator
- $C_{FX|\delta_a|}$: koefisien gaya sumbu X terhadap absolut defleksi aileron
- $C_{FX|\delta_r|}$: koefisien gaya sumbu X terhadap absolut defleksi rudder
- $C_{FY\beta}$: koefisien gaya sumbu Y terhadap *slide-slip angle*
- $C_{FY\delta_r}$: koefisien gaya sumbu Y terhadap defleksi rudder
- $C_{FZ,o}$: koefisien gaya sumbu Z dengan konfigurasi dasar
- $C_{FZ\delta_e}$: koefisien gaya sumbu Z terhadap defleksi elevator
- $C_{MX\beta}$: koefisien momen sumbu X terhadap *slide-slip angle*
- $C_{MX\delta_a}$: koefisien momen sumbu X terhadap defleksi aileron
- $C_{MX\delta_r}$: koefisien momen sumbu X terhadap defleksi rudder
- $C_{MY,o}$: koefisien momen sumbu Y dengan konfigurasi dasar
- $C_{MY\delta_e}$: koefisien momen sumbu Y terhadap defleksi elevator
- $C_{MZ,o}$: koefisien momen sumbu Z dengan konfigurasi dasar
- $C_{MZ\delta_r}$: koefisien momen sumbu Z terhadap defleksi rudder

Defleksi aileron merupakan defleksi menggambarkan roket sedang melakukan gerak *roll* dimana semua sirip APKWS berputar searah jarum jam atau berlawanan arah jarum jam, Defleksi elevator merupakan defleksi menggambarkan roket sedang melakukan gerak *pitch* dimana semua sirip APKWS berputar ke arah bawah atau ke arah atas, Defleksi rudder merupakan defleksi menggambarkan roket sedang melakukan gerak *yaw* dimana semua sirip APKWS berputar ke arah kiri atau ke arah kanan. Visualisasi terlihat pada subbab 4.2.2 Hasil kualitatif CFD.

2.4 Numerical Modelling

2.4.1 Computational Fluid Dynamic (CFD)

Computational Fluid Dynamic (CFD) merupakan salah satu metode analisa secara komputasi untuk prediksi kuantitatif fenomena aliran fluida berdasarkan hukum konservasi (konservasi massa, konservasi momentum, dan konservasi energi) yang mengatur pergerakan fluida seperti ditunjukkan pada Gambar 2.8. Secara umum, terjadi dibawah kondisi yang terdefinisi dalam perihal geometri aliran, sifat fisik fluida, dan kondisi awal dan batas bidang aliran. *Computational Fluid Dynamics* (CFD) juga menyangkut set nilai dari variabel aliran (kecepatan, tekanan, dan suhu di lokasi bidang aliran). Parameter aerodinamika dapat diperoleh dengan melakukan analisa menggunakan prediksi *Computational Fluid Dynamics* (CFD). Dengan penambahan parameter aerodinamika, gangguan aerodinamis yang terjadi pada sistem dapat diantisipasi. [1]



Gambar 2.8 Ilustrasi hasil simulasi estimasi CFD pada roket [3]

2.4.2 Formulasi Matematika CFD

Masalah yang paling sulit dalam mekanika penerbangan atmosfer adalah matematika pemodelan kekuatan aerodinamis dalam bentuk yang dapat dianalisis dan dievaluasi secara kuantitatif. Karena bentuk fungsionalnya tidak diketahui, fungsi dari gaya aerodinamis diekspansi dalam deret Taylor dengan state variabel relatif terhadap referensi penerbangan.

Untuk studi analitis, ekspansi dilakukan untuk semua variabel state. Ada dua persyaratan yang harus dipenuhi. Pertama, turunan parsial dari ekspansi harus kontinyu (suatu kondisi yang biasanya dipenuhi). Dan kedua, variabel yang diekspansi harus kecil.

Biasanya dipostulatkan bahwa gaya aerodinamika tergantung pada bentuk luar dan ukuran (diwakili oleh panjang l), kerapatan atmosfer ρ , dan tekanan P , kecepatan linier badan roket relatif terhadap atmosfer v_B^A , sudut kecepatan badan relatif terhadap atmosfer ω_B^A , percepatan badan pesawat relatif terhadap atmosfer $D^A v_B^A$ dan, kontrol defleksi permukaan η . [10] Secara ringkas, bentuk fungsinya adalah:

$$f_a = f_f(l, p, \rho, v_B^A, \omega^{AB}, D^A v_B^A, \eta) \quad (2.27)$$

untuk momen aerodinamika bentuk fungsinya adalah:

$$m_a = f_m(l, p, \rho, v_B^A, \omega^{AB}, D^A v_B^A, \eta) \quad (2.28)$$

Ekspansi ini disebut ekspansi gaya (*force expansion*) berdasarkan [11]. Ditunjukkan dalam bentuk (2.27) dan (2.28).

2.4.3 Ekspansi Deret Taylor

Kita mulai dengan fungsi aerodinamika dari (2.27) dan **Error! Reference source not found.**, dengan sistem koordinat dinamis J^D , dan memperkenalkan komponen gaya, momen, dan variabel dependen.

$$\begin{aligned} \begin{bmatrix} F_X \\ F_Y \\ F_Z \end{bmatrix}^D &= \left[f_f \left(l, p, \rho; \begin{bmatrix} u \\ v \\ w \end{bmatrix}^D, \begin{bmatrix} p \\ q \\ r \end{bmatrix}^D, \begin{bmatrix} \dot{u} \\ \dot{v} \\ \dot{w} \end{bmatrix}^D, \begin{bmatrix} \delta p \\ \delta q \\ \delta r \end{bmatrix}^D \right) \right]^D \\ \begin{bmatrix} M_X \\ M_Y \\ M_Z \end{bmatrix}^D &= \left[f_m \left(l, p, \rho; \begin{bmatrix} u \\ v \\ w \end{bmatrix}^D, \begin{bmatrix} p \\ q \\ r \end{bmatrix}^D, \begin{bmatrix} \dot{u} \\ \dot{v} \\ \dot{w} \end{bmatrix}^D, \begin{bmatrix} \delta p \\ \delta q \\ \delta r \end{bmatrix}^D \right) \right]^D \end{aligned} \quad (2.29)$$

sekarang kita memperkenalkan variabel independen:

$$\begin{aligned} z_j &= \{u, v, w, p, q, r, \dot{u}, \dot{v}, \dot{w}, \delta p, \delta q, \delta r\} \\ j &= 1, 2, \dots, 12 \end{aligned} \quad (2.30)$$

Dua komponen kecepatan v dan w , jika dinyatakan dalam koordinat badan, juga dapat dilihat sebagai angle of attack, $\alpha = \tan^{-1}(w/u)$ dan side-slip angle $\beta = \sin^{-1}(v/\sqrt{u^2 + v^2 + w^2})$. Variabel $\delta p, \delta q, \delta r$ merepresentasikan kontrol roll, pitch, dan yaw. Variabel dependen dapat diringkas dengan:

$$y_i = \{F_X, F_Y, F_Z, M_X, M_Y, M_Z\} \quad i = 1, 2, \dots, 6 \quad (2.31)$$

dengan penyederhanaan, (2.31) dapat diringkas dengan:

$$y_i = d_i(z_j); \quad i = 1, 2, \dots, 6; \quad j = 1, 2, \dots, 12 \quad (2.32)$$

Fungsi aerodinamika diekspansi menjadi deret Taylor dalam 12 state komponen variabel z_j , relatif terhadap state referensi \bar{z}_j . Ekspansi Deret Taylor secara matematis dibenarkan jika turunan parsial dalam ekspansi kontinyu dan variabel ekspansi $\Delta z_j = z_j - \bar{z}_j$ kecil. Untuk roket, gaya aerodinamika adalah fungsi kontinyu dari state-nya untuk sebagian besar manuver penerbangan. Dalam notasi subskrip, deret Taylor diasumsikan berbentuk:

$$\begin{aligned} y_i &= d_i\{z_j\} + \left(\frac{\partial d_i}{\partial z_{j_1}}\right) \Delta z_{j_1} + \frac{1}{2} \left(\frac{\partial^2 d_i}{\partial z_{j_1} \partial z_{j_2}}\right) \Delta z_{j_1} \Delta z_{j_2} \\ &\quad + \dots \\ &\quad \frac{1}{k!} \left(\frac{\partial^k d_i}{\partial z_{j_1} \dots \partial z_{j_k}}\right) \Delta z_{j_1} \dots \Delta z_{j_k} + \dots \end{aligned}$$

$$i = 1, 2, \dots, 6; \quad j_1, j_2, \dots, j_k = 1, 2, \dots, 12 \quad (2.33)$$

2.4.4 Deskripsi model turbulensi RANS

Persamaan Navier – Stokes mengatur kecepatan dan tekanan aliran fluida. Dalam aliran turbulen, masing-masing jumlah ini dapat didekomposisi menjadi bagian rata-rata dan bagian berfluktuasi. Rata-rata persamaan memberikan persamaan Reynold-Average Navier – Stokes (RANS), yang mengatur aliran rata-rata. Berikut adalah gambaran singkat dari model yang umum digunakan dalam aplikasi teknik modern. [8]

- **Spallart-Allmaras:** Merupakan model turbulensi dengan satu persamaan yang menyelesaikan model persamaan transport untuk

viskositas turbulen. Model ini didesain secara khusus untuk aplikasi aerospace yang melibatkan wall-bounded flows dan telah menunjukkan hasil yang baik untuk lapisan batas yang dipengaruhi adverse pressure gradient. Bentuk dasar model spalart – allmaras hanya efektif pada model dengan bilangan Reynolds yang kecil. Model ini dapat digunakan untuk simulasi yang relatif kasar dengan ukuran mesh yang besar, dimana perhitungan aliran turbulen yang akurat bukan merupakan hal yang kritis.

- **Standard $k - \varepsilon$** : Pemodelan yang menggunakan persamaan transport untuk penyelesaian model $k - \varepsilon$. Model ini juga dapat menyelesaikan untuk heating, buoyancy dan compressibility yang dapat diselesaikan dalam $k-\varepsilon$ model yang lainnya. Model tidak cocok untuk aliran kompleks yang meliputi strong stream curvature dan separation
- **RNG $k - \varepsilon$** : Variasi pemodelan dari standard $k-\varepsilon$ model. Model ini sangat signifikan untuk mengubah dalam persamaan ε , sehingga dapat memperbaiki model yang mempunyai highly strained flows. Dalam model ini juga dapat digunakan untuk aliran yang mempunyai bilangan Reynold yang rendah dan untuk memprediksi aliran yang mempunyai efek swirling.
- **Realizable $k - \varepsilon$** : Variasi pemodelan dari standard $k-\varepsilon$ model. Dengan menggunakan model ini dapat dilakukan untuk menentang penggunaan mathematical constraints sehingga dengan pemodelan ini cukup dapat memperbaiki performansi dari model tanpa menggunakan mathematical constrains.
- **Standard $k - \omega$** : Pemodelan yang menggunakan dua persamaan transport model untuk memecahkan $k-\omega$. Pemodelan ini juga dapat digunakan untuk aliran yang memiliki Re yang rendah. Pemodelan ini juga dapat menampilkan transisi aliran dari aliran laminar menuju aliran turbulen. Keuntungan lainnya adalah dapat menghitung free shear dan aliran compressible.
- **SST $k - \omega$** : Variasi dari pemodelan standard $k-\omega$. Mengkombinasikan pemodelan asli Wilcox model (1988) untuk menggunakan near wall treatment dan standard $k-\varepsilon$ model.

- **RSM :**
Merupakan model turbulensi yang paling teliti pada fluent. Model RSM mendekati persamaan Navier-Stokes (Reynoldss-averaged) dengan menyelesaikan persamaan transport untuk tegangan reynoldss bersama-sama dengan persamaan laju dissipasi. Model ini menggunakan 5 persamaan transport, lebih banyak dibanding model turbulensi yang lain. Model RSM menghitung efek dari kurva streamline, pusaran (swirl), putaran, dan perubahan tiba-tiba pada aliran dengan lebih teliti daripada model turbulensi yang lain, sehingga dapat memberikan prediksi yang lebih akurat untuk aliran yang lebih kompleks.

Halaman ini sengaja dikosongkan

BAB 3

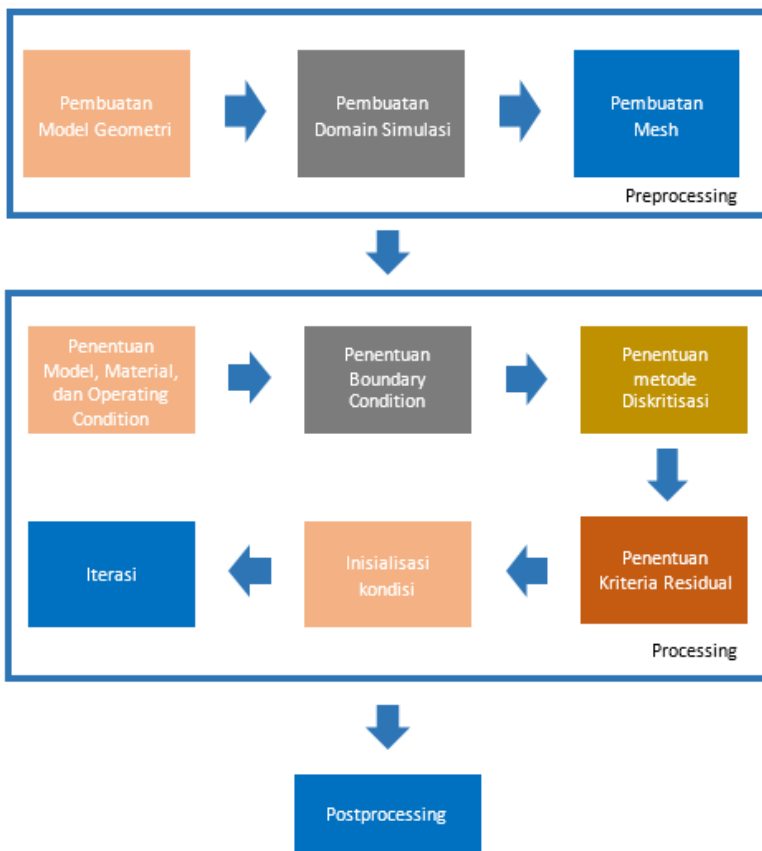
METODOLOGI ESTIMASI PARAMETER

Dikarenakan keterbatasan alat ukur dan tuntutan visualisasi yang detail mengenai koefisien aerodinamika roket hydra70 APKWS, maka penelitian ini menggunakan metode numerik dengan software CFD. Penelitian ini akan mengangkat estimasi parameter aerodinamika aliran tiga dimensi roket Hydra-70 dengan tambahan APKWS. Variasi *angle of attack*, *angle of sideslip*, dan *deflection angle* digunakan sebagai parameter pengujian. Penelitian akan dilaksanakan pada *Computational Fluid Dynamic* (CFD). Parameter untuk ketiga simulasi disamakan. Pada metode numerik ini ada tiga tahapan utama yang harus dilakukan, antara lain: preprocessing, solving atau processing dan postprocessing. [12]

Eksperimen dilakukan agar diperoleh informasi mengenai parameter aerodinamika roket Hydra-70 APKWS. Penelitian dilakukan dengan memberikan variasi pada *angle of attack*, *angle of sideslip*, dan *deflection angle*. Data yang didapatkan dari metode eksperimen ini adalah C_{FX} , C_{FY} , C_{FZ} , C_{MX} , C_{MY} , dan C_{MZ} . Hasil data dari eksperimen ini akan dijadikan sebagai parameter model matematika pengendalian dan pemanduan roket Hydra-70 APKWS. Eksperimen dilakukan dengan komputer Intel Core i3-6100U, 2.3 GHz, dengan RAM sebesar 12 GB.

3.1 Proses Simulasi CFD

Simulasi CFD dilakukan sesuai dengan diagram alir yang ditunjukkan pada Gambar 3.1. Dimana proses dimulai dengan tahap preprocessing, dilanjutkan ke tahap processing, dan melalui tahap postprocessing. Ketiga tahapan tersebut dijelaskan lebih lanjut pada subbab berikutnya.



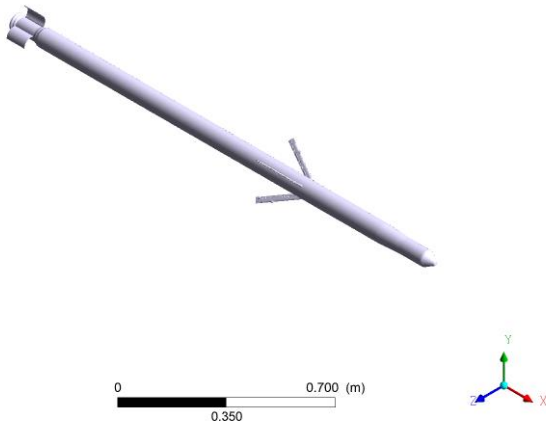
Gambar 3.1 Diagram alir simulasi CFD

3.2 Preprocessing

Preprocessing merupakan langkah pertama dalam membangun dan menganalisa sebuah model komputasi (CFD). Tahapan ini meliputi beberapa sub-tahapan antara lain: pembuatan geometri, penentuan domain simulasi, pembuatan *meshing* dan penentuan parameter-parameter yang digunakan.

3.2.1 Geometri Benda Uji

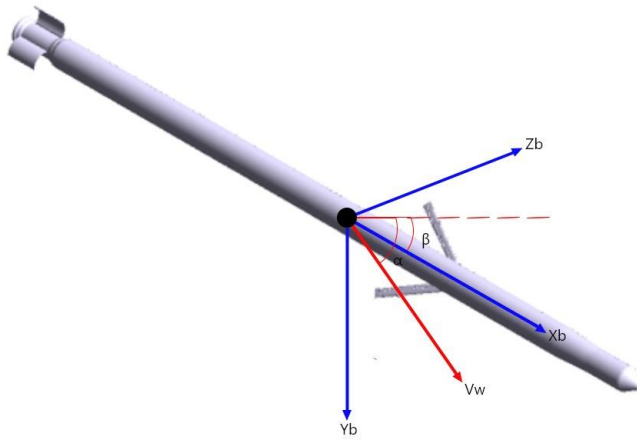
Model roket HYDRA 70 APKWS diterangkan pada Gambar 3.2. Dengan panjang $l = 1,816 \text{ m}$, diameter $d = 0,07 \text{ m}$, dan luas permukaan $A = 0,853 \text{ m}^2$.



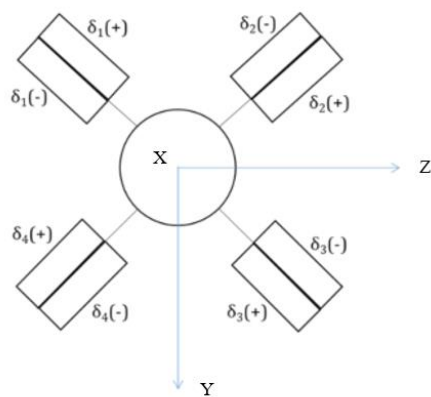
Gambar 3.2 Geometri Hydra 70 APKWS

3.2.2 Konfigurasi Pengujian

Penelitian ini menggunakan model uji roket HYDRA70 APKWS dengan variasi *angle of attack*, *angle of sideslip*, dan *deflection angle* sebagai parameter eksperimen. *Angle of attack* (α) memiliki variasi diantara: $0^\circ, 10^\circ, -10^\circ$, dan 20° . *Angle of sideslip* (β) memiliki variasi diantara: $0^\circ, 10^\circ$, dan -10° . Konfigurasi pengujian dapat dilihat pada Tabel 3.1.



Gambar 3.3 Konfigurasi sudut α dan β



Gambar 3.4 Definisi sudut defleksi (δ)

Tabel 3.1 Konfigurasi α , β , dan δ eksperimen

Var	$\delta 1$	$\delta 2$	$\delta 3$	$\delta 4$	Keterangan	α	β
1	0	0	0	0	Mewakili kondisi awal	0	0
2						0	-10
3						0	10
4						10	0
5						10	-10
6						10	10
7						20	0
8						20	-10
9						20	10
10	10	10	10	10	Mewakili $\delta_a = 10$	-10	0
11						0	0
12						10	0
13						20	0
14	5	5	5	5	Mewakili $\delta_a = 5$	-10	0
15						0	0
16						10	0
17						20	0
18	-5	-5	-5	-5	Mewakili $\delta_a = -5$	-10	0
19						0	0
20						10	0
21						20	0
22	-10	-10	-10	-10	Mewakili $\delta_a = -10$	-10	0
23						0	0
24						10	0
25						20	0
26	-10	10	10	-10	Mewakili $\delta_e = 10$	-10	0
27						0	0
28						10	0
29						20	0
30	-5	5	5	-5	Mewakili $\delta_e = 5$	-10	0
31						0	0
32						10	0
33						20	0

Var	$\delta 1$	$\delta 2$	$\delta 3$	$\delta 4$	Keterangan	α	β
34	5	-5	-5	5	Mewakili $\delta_e = -5$	-10	0
35						0	0
36						10	0
37						20	0
38						-10	0
39	10	-10	-10	10	Mewakili $\delta_e = -10$	0	0
40						10	0
41						20	0
42						-10	0
43	10	10	-10	-10	Mewakili $\delta_r = 10$	0	0
44						10	0
45						20	0
46						-10	0
47	5	5	-5	-5	Mewakili $\delta_r = 5$	0	0
48						10	0
49						20	0
50						-10	0
51	-5	-5	5	5	Mewakili $\delta_r = -5$	0	0
52						10	0
53						20	0
54						-10	0
55	-10	-10	10	10	Mewakili $\delta_r = -10$	0	0
56						10	0
57						20	0

dimana,

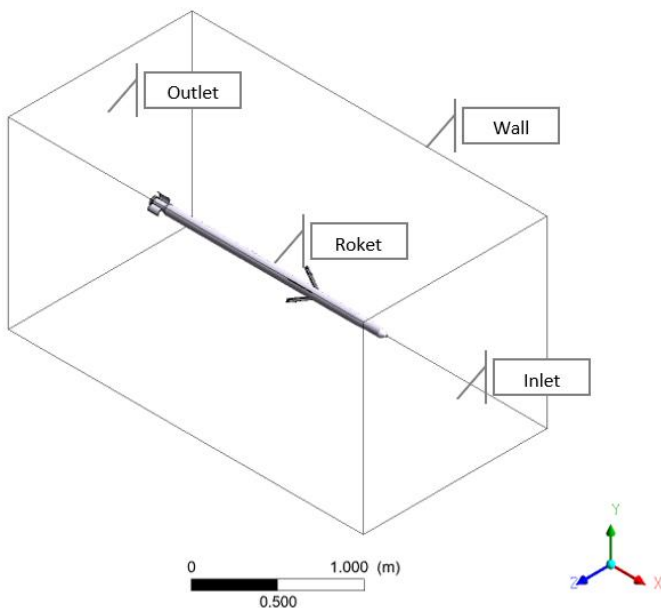
δ_a : defleksi aileron

δ_e : defleksi elevator

δ_r : defleksi rudder

3.2.3 Domain Simulasi

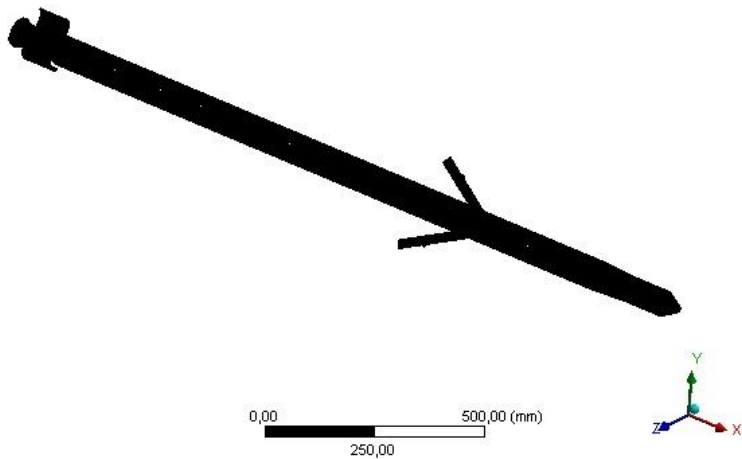
Domain simulasi yang digunakan pada penelitian ini ditunjukkan pada Gambar 3.5.



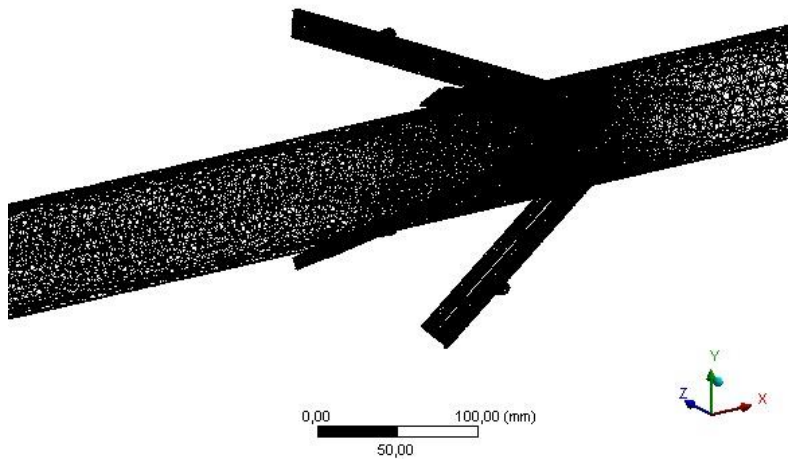
Gambar 3.5 Domain simulasi Hydra 70 APKWS tampak 3D

3.2.4 Meshing

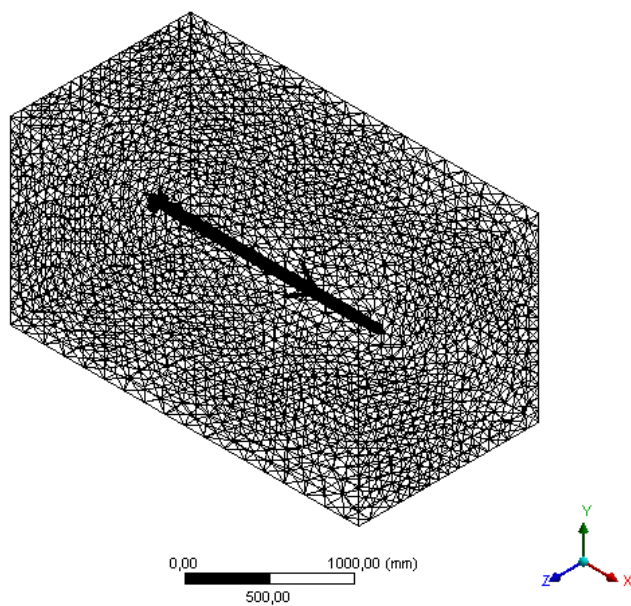
Bidang atau volume yang diisi oleh fluida dibagi menjadi sel-sel kecil (*meshing*) sehingga *boundary condition* dan beberapa parameter yang diperlukan dapat diaplikasikan ke dalam elemen-elemen kecil tersebut. Pada pemodelan 3D bentuk *mesh* yang digunakan adalah tetrahedral pada bagian daerah uji model. *Grid meshing* untuk Hydra 70 APKWS ditunjukkan pada Gambar 3.6 hingga Gambar 3.9.



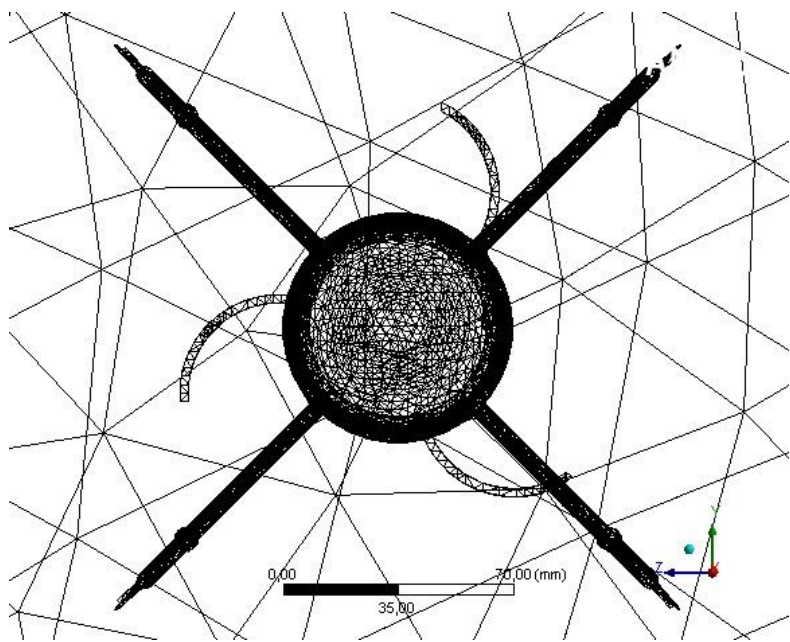
Gambar 3.6 Hasil proses mesh pada roket Hydra 70 APKWS



Gambar 3.7 Hasil proses mesh pada bagian APKWS



Gambar 3.8 Hasil proses mesh pada seluruh domain simulasi roket Hydra 70APKWS



Gambar 3.9 Hasil proses mesh pada roket Hydra 70 APKWS tampak depan

3.3 Processing (Fluent)

Hasil meshing dari domain simulasi dimasukkan ke *software Fluent* untuk dilakukan *processing*. Langkah-langkah dalam *processing* adalah sebagai berikut :

A. Models

Models merupakan pemilihan model aliran (karakteristik aliran), Pemilihan jenis formula penyelesaian (*solver*), pemilihan model turbulensi yang digunakan, dan pemilihan konstanta yang digunakan. Model turbulensi yang digunakan pada penelitian ini adalah $k - \varepsilon$ standard

B. Materials

Materials merupakan pemilihan jenis material yang akan digunakan dan memasukkan data – data properties material. Pemodelan ini

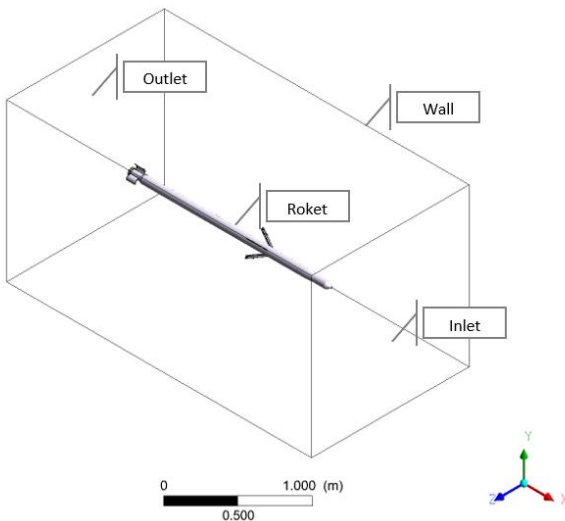
menggunakan udara sebagai fluida kerja dengan *densitas* (ρ) = $1,17 \text{ kg/m}^3$, *viskositas* (μ) = $1,86 \times 10^{-5} \text{ N.s/m}^2$

C. Operating Condition

Operating condition merupakan kondisi daerah operasi dan lingkungan di sekitar benda uji. Pada penelitian kali ini tekanan pada daerah operasi adalah $0,01208981 \text{ atm}$ atau $1,225 \text{ Pascal}$.

D. Boundary Condition

Boundary condition merupakan penentuan parameter serta batasan pada aliran yang melewati benda uji pada *inlet* sampai *outlet*. Pada daerah *inlet* menggunakan *boundary condition velocity inlet* dengan nilai kecepatan sebesar $514,5 \text{ m/s}$ sebagai kecepatan roket yang bergerak dengan kecepatan $1,5 \text{ mach}$. *Boundary condition* pada sisi *outlet* menggunakan *outflow*, bagian dinding dan roket didefinisikan sebagai *wall*. Konfigurasi *bounccary condition* dapat dilihat pada Gambar 3.10.



Gambar 3.10 Boundary condition Hydra 70 APKWS

E. Solution

Penelitian ini akan menggunakan deskritisasi *second order* untuk *pressure*, *second order upwind* untuk momentum, *first order upwind* *turbulence kinetic energy* dan *turbulence dissipation rate*.

F. Initialize

Tahap ini berfungsi untuk menentukan perhitungan awal serta memudahkan mendapatkan hasil yang konvergen pada tahap iterasi. *Initialize* dihitung dari *inlet*. *Initialize* pada *inlet* didefinisikan sebagai *velocity inlet* sebesar 514,5 m/s.

G. Monitor Residual

Pada tahap ini berfungsi sebagai penyelesaian dari masalah yang merupakan proses iterasi hingga mencapai harga kriteria konvergensi yang diinginkan. Kriteria konvergensi yang digunakan dalam penelitian ini sebesar 10^{-3} , artinya proses iterasi dinyatakan konvergen setelah nilai residualnya kurang dari atau sama dengan 10^{-3} .

H. Iterate

Pada langkah ini merupakan perhitungan dari Fluent. Perhitungan dinyatakan konvergen bila kurang atau sama dengan 10^{-3} . Perhitungan dimulai dari *inlet* dengan menghitung karakter dari partikel fluida yang mengalir. Karakter dari fluida didefinisikan melalui ekspansi gaya yang dijelaskan pada (2.27) dan (2.28). Saat fluida menghantam benda uji fenomena boundary layer akan diperhitungkan dan jika fluida mencapai karakter turbulen, maka akan dihitung dengan model turbulensi $k-\varepsilon$. Pergerakan fluida dari grid ke grid selanjutnya dihitung dengan ekspansi deret taylor. Setelah seluruh partikel fluida mencapai *outlet*, dihitung rata-rata dan momen pada permukaan benda uji dan didapatkan nilai parameter gaya dan momen bila kriteria konvergensi sudah dicapai.



Gambar 3.11 Diagram alir proses iterasi

I. Grid Independence

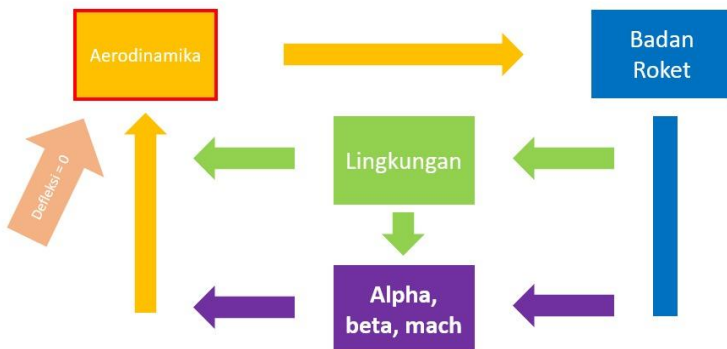
Grid independence dilakukan untuk mendapat hasil data yang tidak dipengaruhi oleh jumlah *grid*, sehingga data yang diperoleh lebih akurat. Dari langkah ini akan didapatkan jumlah *grid* yang relatif lebih baik sehingga data numerik dapat dibandingkan dengan data eksperimen.

3.4 Postprocessing

Setelah melakukan *running* langkah selanjutnya adalah *post processing* atau penampilan hasil data kualitatif dan kuantitatif. Data kuantitatif yang diperoleh berupa distribusi koefisien gaya pada sumbu x (C_{FX}), koefisien gaya pada sumbu y (C_{FY}), koefisien gaya pada sumbu z (C_{FZ}), koefisien momen pada sumbu x (C_{MX}), koefisien momen pada sumbu y (C_{MY}), dan koefisien momen pada sumbu z (C_{MZ}) untuk berbagai variasi *angle of attack*, *angle of sideslip*, dan *deflection angel*. Koefisien gaya pada sumbu x (C_{FX}), koefisien gaya pada sumbu y (C_{FY}), koefisien gaya pada sumbu z (C_{FZ}), koefisien momen pada sumbu x (C_{MX}), koefisien momen pada sumbu y (C_{MY}), dan koefisien momen pada sumbu z (C_{MZ}) didapatkan dari ekstraksi gaya pada sumbu x (F_X), gaya pada sumbu y (F_Y), gaya pada sumbu z (F_Z), momen pada sumbu x (M_X), momen pada sumbu y (M_Y), dan momen pada sumbu z (M_Z) pada roket Hydra 70 APKWS yang kemudian dihitung secara manual. Sedangkan data kualitatif yang diperoleh berupa visualisasi aliran yaitu menampilkan *grid display*, *contour plot*, dan *pressure profile* dari *hydra 700 APKWS*.

3.5 Model Roket Untuk Validasi Kualitatif

Model roket untuk validasi kualitatif merupakan model roket Hydra 70 APKWS dengan menggunakan defleksi sirip 0 derajat dengan tanpa sistem pengendalian dan pemanduan. Model roket dapat dilihat pada Gambar 3.12.



Gambar 3.12 Blok diagram model roket

Blok diagram model roket mengandung subsistem dan dijelaskan seperti dibawah ini:

Pada blok aerodinamika, persamaan yang diperoleh dari penelitian ini akan digunakan untuk menghitung keluaran nilai gaya dan momen roket yang akan diumpulkan pada blok benda roket. Blok aerodinamika membutuhkan input dari blok fungsional lingkungan dan blok fungsional alpha, beta, dan mach. Dari blok lingkungan, memberikan input gaya gravitasi pada blok aerodinamika. Dari blok alpha, beta, mach memberikan input berupa tekanan dinamis roket, kecepatan rotasi dan translasi pada masing-masing sumbu, alpha, dan beta.

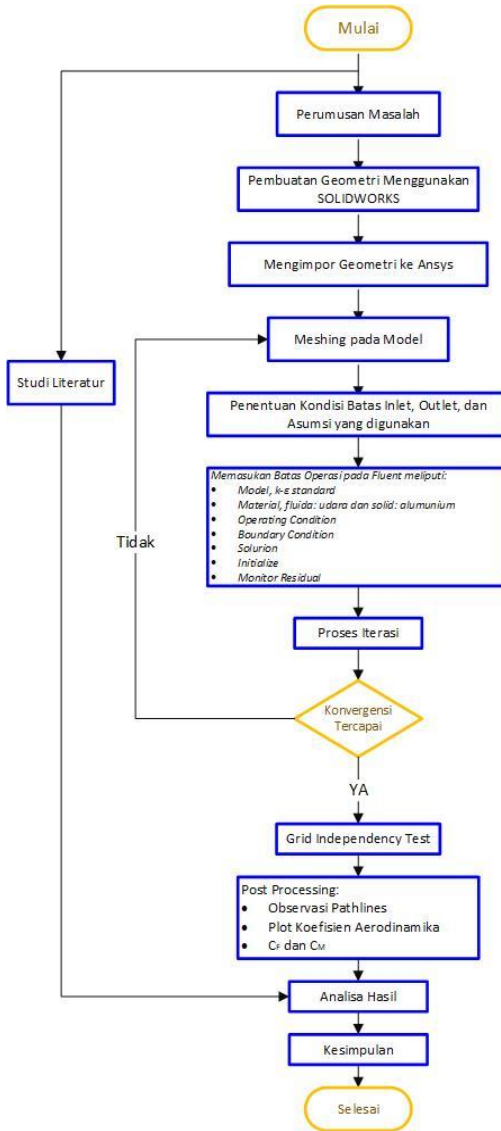
Pada blok alpha, beta, dan mach membutuhkan input dari blok lingkungan dan blok badan roket berupa massa jenis udara dan kecepatan suara. dan dari blok badan roket memberikan data kecepatan rotasi dan translasi roket.

Pada blok lingkungan mendapatkan input dari blok bawa roket berupa jarak euler dan direction cosine matric (DCM) untuk menghitung gaya gravitasi, masa jenis udara, dan kecepatan suara.

Pada blok bawa roket merupakan blok 6 derajat euler yang memberikan output pada blok lingkungan dan alpha, beta, dan mach seperti dijelaskan sebelumnya. Blok ini membutuhkan input gaya dan momen roket yang didapatkan dari blok aerodinamika.

3.6 Flowchart Penelitian

Runtutan proses yang digunakan pada penelitian ini dapat digambarkan dalam bentuk diagram alir pada sebagai berikut :



Gambar 3.13 Flowchart Penelitian

Halaman ini sengaja dikosongkan

BAB 4

HASIL DAN ANALISA CFD

4.1 Validasi Numerik

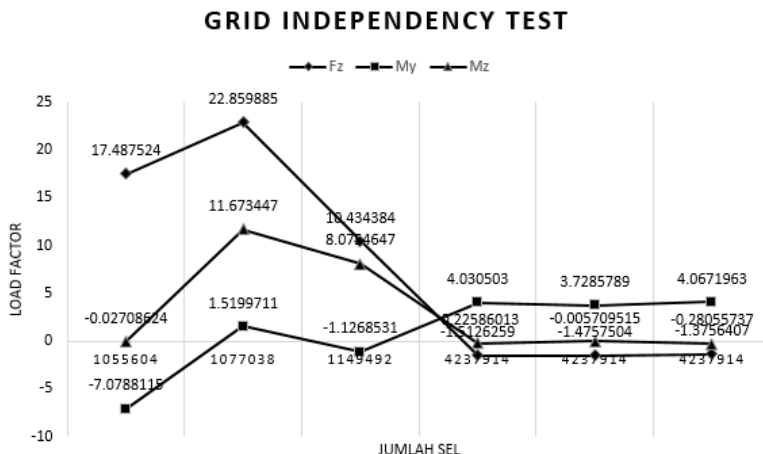
Validasi numerik bertujuan untuk meyakinkan bahwa simulasi sudah dilakukan sesuai dengan prosedur reduksi error dalam perhitungan numerik. Sehingga, walaupun penelitian tidak divalidasi dengan hasil eksperimen, akan didapatkan hasil yang akurat. Dalam penelitian ini, digunakan 3 kriteria validasi numerik : *grid independency test*, *residual convergence criteria*, dan konsistensi nilai.

4.1.1 Grid Independence Test

Dalam studi CFD yang menggunakan perangkat lunak komersial ini diperlukan keakuratan data baik pada langkah *postprocessing* maupun *preprocessing*nya. Hal ini dilakukan agar data yang diperoleh dapat divalidasi pada aplikasi sebenarnya. Untuk itu diperlukan langkah *grid independency test* untuk menentukan tingkat serta struktur *grid* terbaik agar hasil pemodelan mendekati sebenarnya.

Grid independency dilakukan dengan melakukan simulasi beberapa jumlah *cell* dalam *mesh* dengan kondisi batas yang sama. *Grid* terbaik bukanlah *mesh* dengan jumlah *cell* terbanyak, namun ketika dua atau lebih *mesh* menunjukkan perbedaan hasil yang tidak signifikan atau dengan kata lain hasilnya mulai konstan.

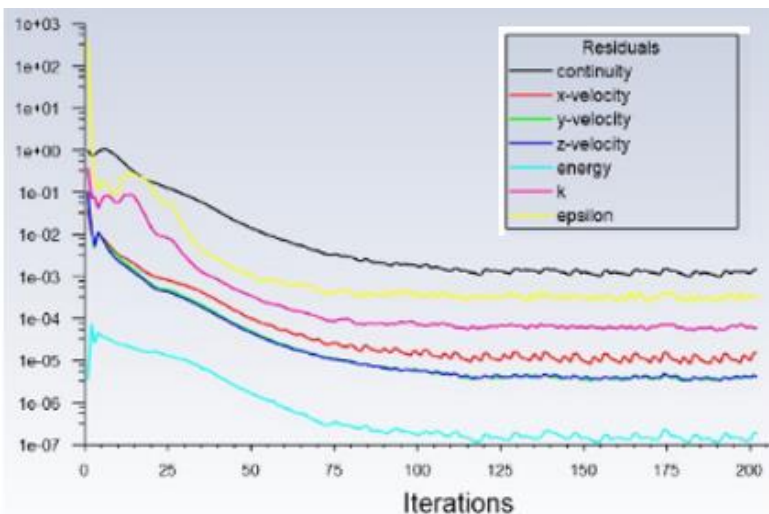
Gambar 4.1 menunjukkan bahwa nilai F_Z , M_Y , dan M_Z cenderung konstan saat domain komputasi di atas empat juta sel (dengan menggunakan luas sel sebesar 6 m^2). Dengan mempertimbangkan waktu kalkulasi, konsistensi hasil, dan resolusi visualisasi yang baik, maka jumlah sel yang dipilih untuk simulasi penelitian ini adalah 4 juta sel dengan menggunakan luas sel sebesar 6 m^2 .



Gambar 4.1 Grafik jumlah sel terhadap hasil estimasi

4.1.2 Residual Convergence Criteria

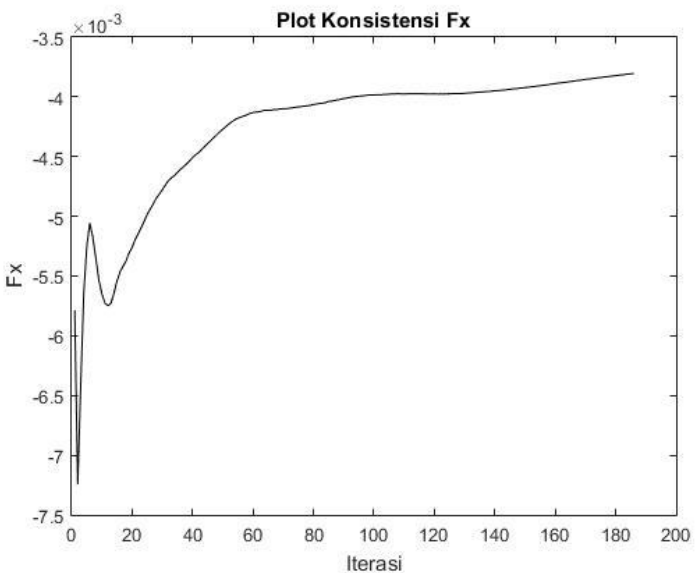
Residual convergence criteria merupakan salah satu validasi numerik untuk menunjukkan bahwa nilai residual sudah berada dibawah kriteria yang ditentukan. Dalam penelitian ini, digunakan keriteria residual sebesar 10^{-3} menunjukkan bahwa residual seluruh persamaan konservasi sudah dibawah kriteria. Hasil residi dalam penelitian dapat dilihat pada Gambar 4.2.



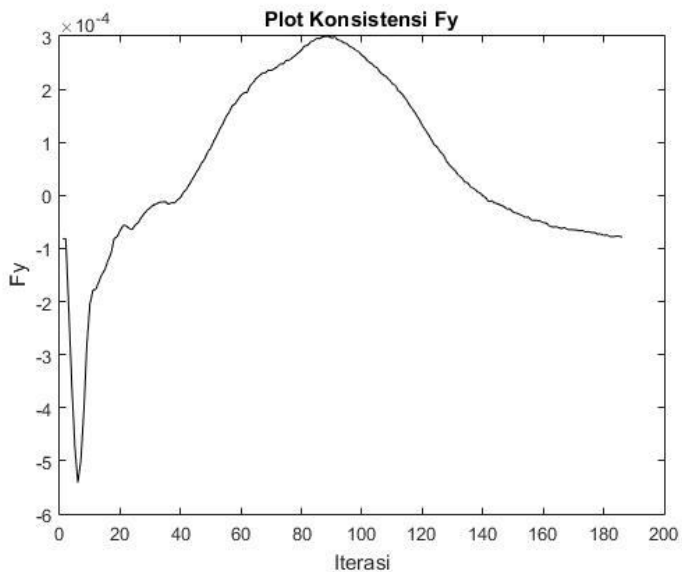
Gambar 4.2 Grafik residual CFD

4.1.3 Konsistensi Nilai

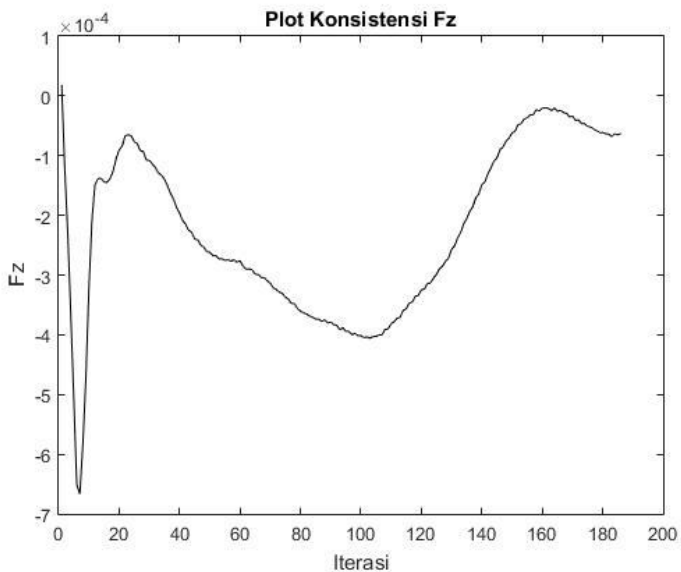
Seiring dengan berjalannya proses iterasi, variabel simulasi akan menuju ke satu nilai konvergen. Gambar 4.3 hingga Gambar 4.8 menunjukkan bahwa nilai gaya dan momen sudah konsisten pada satu nilai yang konvergen di bawah nilai kriteria konvergensi yang telah ditetapkan.



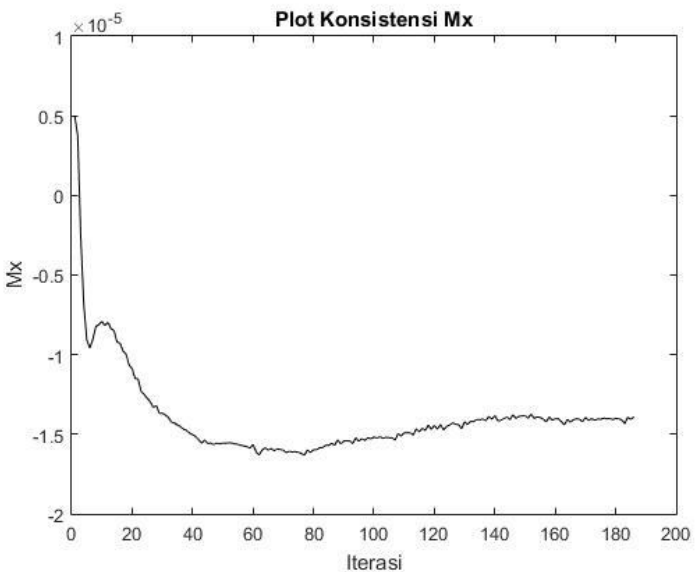
Gambar 4.3 Grafik iterasi terhadap F_x



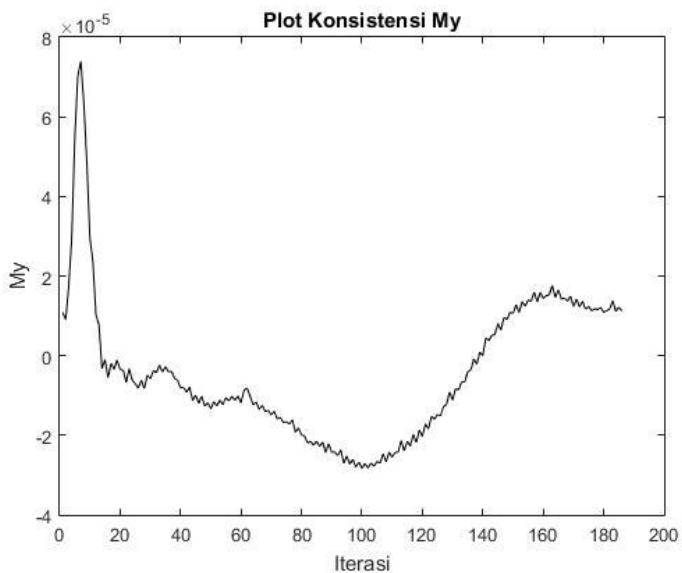
Gambar 4.4 Grafik iterasi terhadap F_y



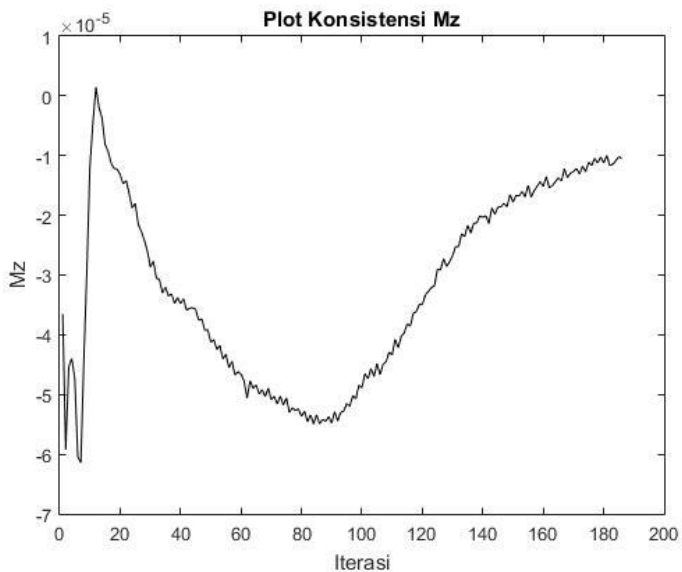
Gambar 4.5 Grafik iterasi terhadap F_z



Gambar 4.6 Grafik iterasi terhadap M_x



Gambar 4.7 Grafik iterasi terhadap M_Y



Gambar 4.8 Grafik iterasi terhadap M_z

4.2 Hasil CFD

4.2.1 Hasil Kuantitatif

Hasil kuantitatif dari numerik CFD didapatkan dari gaya pada sumbu x, gaya pada sumbu y, gaya pada sumbu z, momen pada sumbu x, momen pada sumbu y, dan momen pada sumbu z. Nilai tersebut merupakan nilai konvergen yang didapatkan dari iterasi numerik CFD. Simulasi dilakukan pada variasi *angle of attack*, *angle of sideslip*, dan *deflection angle* tertentu untuk mewakili defleksi *aileron*, defleksi elevator, dan defleksi *rudder*. Data hasil numerik CFD dapat dilihat pada Tabel 4.1.

Tabel 4.1 Hasil CFD Hydra 70 APKWS

Var	δ_1	δ_2	δ_3	δ_4	Dho	α	β	F_X	F_Y	F_Z	M_X	M_Y	M_Z
2	10	10	10	10	$\delta_a = 10$	0	10	719.39 133	73.471 6	1273.7 36	0.8642 4	20.007 7	827.39 1
3						0	-10	719.79 317	14.698 34	1285.3 5	3.9141 7	19.491 82	841.33 33
4						10	0	713.58 095	-1294.4	27.618 5	6.7842 3	835.45 8	8.1599 5
5						10	10	944.51 59	1230.3 2	1286.6 75	4.4212 8	826.02 2	817.70 9
6						10	-10	927.29 574	1143.1 7	1315.1 9	0.1530 1	799.47 4	832.92
7						20	0	1381.5 238	152.57 06	2710.5 2	3.1617 97	25.385 17	1612.1 8
8						20	10	1632.3 843	2463.0 7	1719.0 93	-126.8	1496.8 2	1085.2 3
9						20	-10	1599.7 686	2383.4 5	-1511.1	102.41 34	1592.9 1	1104.9 58
10						-10	0	740.22 318	1308.8 35	283.73 85	21.068 45	101.16 6	888.61 63
11						0	0	559.02 388	0.2654 1	5.1413 84	2.9621 87	2.1420 52	2.8165 85
12						10	0	743.85 159	1319.8 5	-269.63	21.541 03	101.57 05	893.63 4
13						20	0	1409.6 251	-2651.3	328.17 6	75.290 22	205.03 16	1636.2 3

Var	δ_1	δ_2	δ_3	δ_4	Dho	α	β	F_X	F_Y	F_Z	M_X	M_Y	M_Z
14	5	5	5	5	$\delta_a = 5$	-10	0	730.73 441	1279.2 57	160.94 93	8.1345 34	66.617 6	847.89 69
15						0	0	526.12 401	10.867 2	8.6667 1	3.4947 5	2.8137 02	2.6495 4
16						10	0	710.82 652	1300.6 6	160.18 5	9.1044 33	59.651 44	847.67 7
17						20	0	1399.9 096	2609.5 2	19.448 6	39.278 04	117.41 62	1605.3 4
18	-5	-5	-5	-5	$\delta_a = -5$	-10	0	722.05 048	1247.6 4	167.56 4	18.058 2	50.559 48	826.29 87
19						0	0	524.38 736	8.4480 2	-19.539	8.7891 1	26.313 8	0.1582 3
20						10	0	881.17 116	-1063	414.65	44.778 1	310.63 8	616.28 9
21						20	0	1395.3 795	2593.7 7	456.81 62	61.564 9	137.48 9	1588.4 9
22	-10	-10	-10	-10	$\delta_a = -10$	-10	0	739.80 348	1276.2 49	247.98 8	35.263 1	127.27 31	849.02 65
23						0	0	-529.9	-15.879	-17.974	-13.846	-91.433	-10.278
24						10	0	1415.2 191	2611.2 4	604.61 63	71.645 4	147.62 7	1574.4 5
25						20	0	731.32 629	1302.2 3	251.66 54	30.307 9	-104.73	844.70 5

Var	δ_1	δ_2	δ_3	δ_4	Dho	α	β	F_X	F_Y	F_Z	M_X	M_Y	M_Z
26	-10	10	10	-10	$\delta_e = 10$	-10	0	750.97 545	1420.1 28	51.700 6	-8.3831	15.686 92	996.57 65
27						0	0	537.73 618	121.36 78	0.4955 5	5.2975 4	13.465 9	129.63 84
28						10	0	713.93 167	1193.4 9	57.384 6	0.2840 5	26.895 13	704.47 1
29						20	0	1373.7 593	2522.4 7	276.52 93	17.173 1	25.823 9	1447.5 6
30	-5	5	5	-5	$\delta_e = 5$	-10	0	738.28 635	1350.4 41	1.6524 1	2.6853 5	-17.937	910.16 25
31						0	0	525.02 442	53.525 25	18.654 73	6.1380 8	17.733 1	64.664 81
32						10	0	708.33 455	1235.0 4	60.530 5	2.1527 7	25.645 52	776.86 8
33						20	0	1371.5 73	2533.1 1	251.00 14	11.044 7	10.813 1	1515.1 5
34						-10	0	722.91 527	1186.2 67	27.771 5	7.7437 2	7.3288 31	770.68 76
35	5	-5	-5	5	$\delta_e = -5$	0	0	566.67 092	15.688 1	37.348 2	7.6973 8	2.2596 7	75.276 5
36						10	0	757.16 524	1312.8 1	4.9655 2	6.8986 8	14.632 9	916.89 1
37						20	0	1387.3 657	2636.1 8	6.7438 94	9.7014 85	44.786 04	1681.5 5

Var	δ_1	δ_2	δ_3	δ_4	Dho	α	β	F_X	F_Y	F_Z	M_X	M_Y	M_Z
38	10	-10	-10	10	$\delta_\theta = -10$	-10	0	725.70 319	1165.7 46	-28.307	6.9526 7	0.5444 9	725.93 59
39						0	0	584.67 294	50.417 7	35.198 5	7.2170 3	12.841 6	153.88 7
40						10	0	733.64 361	1427.2 9	0.0667 2	4.3226 6	3.9865 9	985.04 9
41						20	0	1439.7 522	2861.9 5	50.091 26	2.2054 03	18.810 06	1770.4 6
42	10	10	-10	-10	$\delta_\gamma = 10$	-10	0	768.98 719	1283.3 2	132.39 4	26.047 3	125.02 01	847.02 5
43						0	0	590.62 726	8.9561 98	164.66 2	7.2373 6	113.27 7	9.5550 78
44						10	0	726.71 398	1251.7 8	110.90 4	15.528 14	131.42 82	882.95 4
45						20	0	1361.3 23	2642.0 9	240.69 3	59.246 65	190.47 45	1650.6 3
46	5	5	-5	-5	$\delta_\gamma = 5$	-10	0	726.44 636	1275.6 13	-49.18	15.135 3	60.905 67	845.78 32
47						0	0	558.92 549	31.465 94	12.204 5	6.1050 3	64.931 49	24.590 06
48						10	0	740.83 609	1264.3 7	65.134 3	4.9023 9	68.737 98	862.29 9
49						20	0	1338.5 896	2492.5 2	86.863 4	19.302 84	83.870 54	1650.9 1

Var	δ_1	δ_2	δ_3	δ_4	Dho	α	β	F_X	F_Y	F_Z	M_X	M_Y	M_Z
50	-5	-5	5	5	$\delta_r = -5$	-10	0	714.32 516	1250.1 82	79.522 16	3.9976 32	57.658 3	855.54 68
51						0	0	547.96 613	21.577 9	60.870 34	7.4559 2	-	-
52						10	0	755.44 966	1279.4 7	57.120 74	12.264 9	44.748 7	18.791 6
53						20	0	1387.3 32	2543.4 9	37.473 34	7.3863 5	15.102 7	1622.5 5
54	-10	-10	10	10	$\delta_r = -10$	-10	0	743.90 928	1249.1 37	119.79 11	14.706 55	119.02 5	868.85 01
55						0	0	610.10 431	-	2.4851 59	7.6864 5	141.53 1	9.8044 1
56						10	0	745.96 896	1268.2 8	128.20 86	24.901 5	123.81 3	852.24 6
57						20	0	1377.9 664	2531.6 5	118.97 01	36.017 9	103.15 1	1624.9 7

Hasil dari numerik CFD merupakan nilai gaya pada sumbu x, gaya pada sumbu y, gaya pada sumbu z, momen pada sumbu x, momen pada sumbu y, dan momen pada sumbu z. Data tersebut dihitung dengan menggunakan (2.5) dan **Error! Reference source not found.** untuk mendapatkan nilai koefisien aerodinamika. Hasil perhitungan dapat dilihat pada Tabel 4.2.

Tabel 4.2 Hasil perhitungan koefisien aerodinamika

Var	δ_1	δ_2	δ_3	δ_4	Dho	α	β	C_{FX}	C_{FY}	C_{FZ}	C_{MX}	C_{MY}	C_{MZ}
1	0	0	0	0	0	0	0	0.0034 294	1.8E- 05	-1.1E- 05	-2.86E- 05	1.6E- 05	-8.99E- 07
2						0	10	0.0052 002	0.0005 3	0.0092 07	-3.44E- 06	-8E-05	0.0032 93
3						0	-10	0.0052 031	0.0001 1	0.0092 9	-1.56E- 05	7.8E- 05	0.0033 49
4						10	0	0.0051 582	0.0093 6	0.0002	-2.7E- 05	0.0033	-3.25E- 05
5						10	10	0.0068 275	0.0088 9	0.0093 01	-1.76E- 05	0.0033	0.0032 55
6						10	-10	0.0067 03	0.0082 6	0.0095 1	6.09E- 07	0.0032	0.0033 15
7						20	0	0.0099 864	0.0011	0.0195 9	1.26E- 05	0.0001	0.0064 17
8						20	10	0.0117 998	0.0178	0.0124 27	0.0005 05	-0.006	0.0043 2
9						20	-10	0.0115 64	0.0172 3	0.0109 2	0.0004 08	0.0063	0.0043 98
10					$\delta_\alpha = 10$	-10	0	0.0053 508	0.0094 6	0.0020 51	8.39E- 05	0.0004	0.0035 37
11						0	0	0.0040 409	-1.9E- 06	3.72E- 05	1.18E- 05	8.5E- 06	1.12E- 05
12						10	0	0.0053 77	0.0095 4	0.0019 5	8.57E- 05	0.0004	0.0035 57
13						20	0	0.0101 896	0.0191 7	0.0023 7	0.0003	0.0008 2	0.0065 13

Var	δ_1	δ_2	δ_3	δ_4	Dho	α	β	C_{FX}	C_{FY}	C_{FZ}	C_{MX}	C_{MY}	C_{MZ}
14	5	5	5	5	$\delta_a = 5$	-10	0	0.0052 822	0.0092 5	0.0011 63	3.24E- 05	0.0003	0.0033 75
15						0	0	0.0038 031	-7.9E- 05	-6.3E- 05	-1.39E- 05	1.1E- 05	-1.05E- 05
16						10	0	0.0051 383	0.0094	0.0011 6	3.62E- 05	0.0002 4	0.0033 74
17						20	0	0.0101 193	0.0188 6	0.0001 4	0.0001 56	0.0004 7	0.0063 9
18	-5	-5	-5	-5	$\delta_a = -5$	-10	0	0.0052 194	0.0090 2	0.0012 1	-7.19E- 05	0.0002	0.0032 89
19						0	0	0.0037 906	-6.1E- 05	0.0001 4	-3.5E- 05	0.0001	-6.3E- 07
20						10	0	0.0063 696	0.0076 8	0.0029 97	0.0001 78	0.0012	0.0024 53
21						20	0	0.0100 866	0.0187 5	0.0033 02	0.0002 45	0.0005	0.0063 23
22	-10	-10	-10	-10	$\delta_a = -10$	-10	0	0.0053 477	0.0092 3	0.0017 9	0.0001 4	0.0005 1	0.0033 8
23						0	0	0.0038 304	0.1147 8	0.1299 3	0.0551 14	-	0.0409 11
24						10	0	0.0102 3	0.0188 8	0.0043 71	0.0002 85	0.0006	0.0062 67
25						20	0	0.0052 864	0.0094 1	0.0018 19	0.0001 21	0.0004	0.0033 62

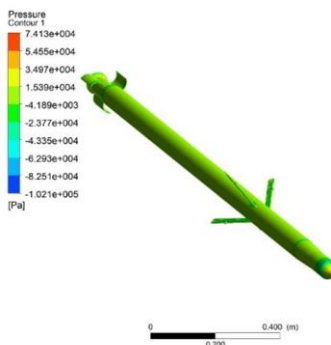
Var	δ_1	δ_2	δ_3	δ_4	Dho	α	β	C_{FX}	C_{FY}	C_{FZ}	C_{MX}	C_{MY}	C_{MZ}
26	-10	10	10	-10	$\delta_e = 10$	-10	0	0.0054 285	0.0102 7	0.0003 7	-3.34E- 05	6.2E- 05	0.0039 67
27						0	0	0.0038 871	0.0008 8	-3.6E- 06	-2.11E- 05	-5E-05	0.0005 16
28						10	0	0.0051 607	0.0086 3	0.0004 1	-1.13E- 06	0.0001 1	0.0028 04
29						20	0	0.0099 303	0.0182 3	0.0019 99	-6.84E- 05	0.0001 62	0.0057 62
30	-5	5	5	-5	$\delta_e = 5$	-10	0	0.0053 368	0.0097 6	-1.2E- 05	-1.07E- 05	-7E-05	0.0036 23
31						0	0	0.0037 952	0.0003 9	0.0001 35	-2.44E- 05	-7E-05	0.0002 57
32						10	0	0.0051 202	0.0089 3	0.0004 4	-8.57E- 06	0.0001	0.0030 92
33						20	0	0.0099 145	0.0183 1	0.0018 14	-4.4E- 05	-4E-05	0.0060 31
34	5	-5	-5	5	$\delta_e = -5$	-10	0	0.0052 256	0.0085 8	0.0002	-3.08E- 05	2.9E- 05	0.0030 68
35						0	0	0.0040 962	0.0001 1	0.0002 7	-3.06E- 05	-9E-06	0.0003
36						10	0	0.0054 732	0.0094 9	-3.6E- 05	-2.75E- 05	-6E-05	0.0036 5
37						20	0	0.0100 287	0.0190 6	4.87E- 05	3.86E- 05	0.0001 8	0.0066 93

Var	δ_1	δ_2	δ_3	δ_4	Dho	α	β	C_{FX}	C_{FY}	C_{FZ}	C_{MX}	C_{MY}	C_{MZ}
38	10	-10	-10	10	$\delta_e = -10$	-10	0	0.0052458	0.00843	-0.0002	-2.77E-05	-2E-06	0.00289
39						0	0	0.0042263	0.00036	0.00025	-2.87E-05	-5E-05	0.000613
40						10	0	0.0053032	0.01032	-4.8E-07	-1.72E-05	-2E-05	0.003921
41						20	0	0.0104073	0.02069	0.000362	8.78E-06	7.5E-05	0.007047
42	10	10	-10	-10	$\delta_r = 10$	-10	0	0.0055587	0.00928	0.00096	0.000104	0.0005	0.003372
43						0	0	0.0042694	6.5E-05	0.00119	-2.88E-05	0.00045	3.8E-05
44						10	0	0.0052531	0.00905	0.0008	6.18E-05	0.00052	0.003515
45						20	0	0.0098404	0.01914	0.00174	0.000236	0.00076	0.00657
46	5	5	-5	-5	$\delta_r = 5$	-10	0	0.0052512	0.00922	0.00036	-6.02E-05	0.00024	0.003367
47						0	0	0.0040402	0.00023	-8.8E-05	-2.43E-05	0.00026	9.79E-05
48						10	0	0.0053552	0.00914	0.00047	1.95E-05	0.00027	0.003432
49						20	0	0.0096761	0.01802	0.00063	7.68E-05	0.00033	0.006571

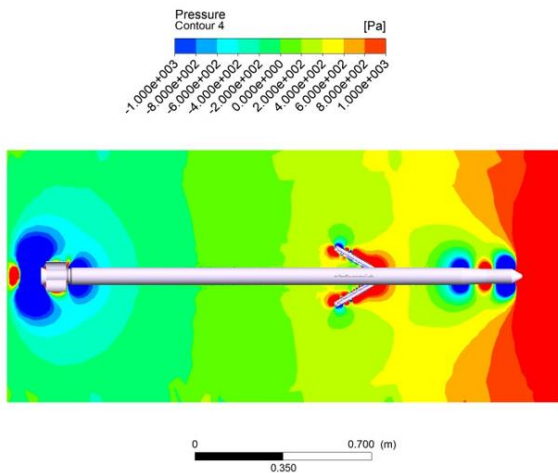
Var	δ_1	δ_2	δ_3	δ_4	Dho	α	β	C_{FX}	C_{FY}	C_{FZ}	C_{MX}	C_{MY}	C_{MZ}
50	-5	-5	5	5	$\delta_r = -5$	-10	0	0.0051 635	0.0090 4	0.0005 75	1.59E- 05	0.0002	0.0034 05
51						0	0	0.0039 61	0.0001 6	0.0004 4	-2.97E- 05	0.0002	-7.48E- 05
52						10	0	0.0054 608	0.0092 5	0.0004 13	-4.88E- 05	0.0002	0.0032 87
53						20	0	0.0100 284	0.0183 9	0.0002 71	-2.94E- 05	-6E-05	0.0064 59
54	-10	-10	10	10	$\delta_r = -10$	-10	0	0.0053 774	0.0090 3	0.0008 66	5.85E- 05	0.0005	0.0034 58
55						0	0	0.0044 102	0.0003 9	1.8E- 05	-3.06E- 05	0.0006	-3.9E- 05
56						10	0	0.0053 923	0.0091 7	0.0009 27	-9.91E- 05	0.0005	0.0033 92
57						20	0	0.0099 607	0.0183	0.0008 6	0.0001 43	0.0004	0.0064 68

4.2.2 Hasil Kualitatif

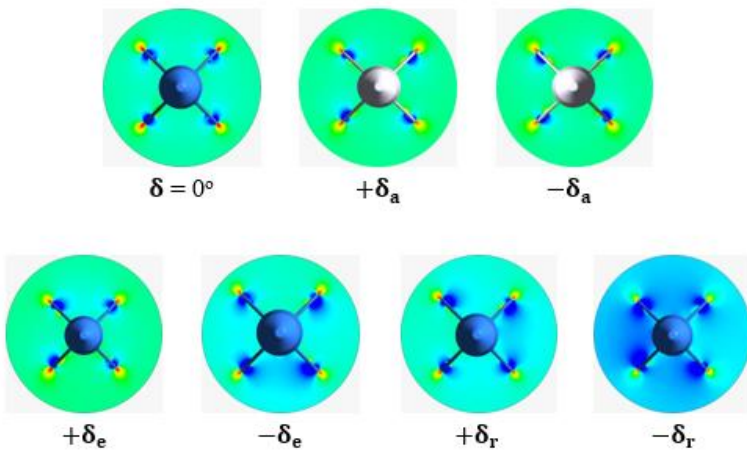
Hasil kualitatif menampilkan kontur tekanan pada berbagai sudut pandang model roket. Hasil ditampilkan pada gambar di bawah ini.



Gambar 4.9 Kontur tekanan pada badan roket



Gambar 4.10 Kontur tekanan pada domain simulasi



Gambar 4.11 Tampak depan tekanan pada sirip APKWS

4.3 Hasil Model Matematika

Data setelah didapatkan akan dilakukan proses *curve fitting* dengan menggunakan metode linier. Berdasarkan (2.15) hingga (2.20) didapatkan persamaan C_{FX} , C_{FY} , C_{FZ} , C_{MX} , C_{MY} , dan C_{MZ} terhadap α , β , δ_a , δ_e , dan δ_r .

4.3.1 Persamaan C_{FX}

Persamaan C_{FX} didasarkan pada (2.15) dan dibuat regresi linier seperti persamaan di bawah. Nilai C_{FX} dimasukan sesuai dengan hasil estimasi Tabel 4.2. nilai P_{FX} dimasukan sesuai dengan Matriks 1 \mathbf{P}_{FX} .

$$C_{FX} = P_{FX} \begin{bmatrix} C_{FX,\alpha} \\ C_{FX,\beta} \\ C_{FX,\delta_e} \\ C_{FX,|\delta_a|} \\ C_{FX,|\delta_r|} \end{bmatrix} \quad (4.1)$$

Kemudian didapatkan nilai $C_{FX,\alpha}$, $C_{FX,\beta}$, $C_{FX\delta_e}$, $C_{FX|\delta_a|}$, dan $C_{FX|\delta_r|}$ seperti pada (4.2) Dan didapatkan persamaan C_{FX} seperti pada (4.3).

$$\begin{bmatrix} C_{FX,\alpha} \\ C_{FX,\beta} \\ C_{FX\delta_e} \\ C_{FX|\delta_a|} \\ C_{FX|\delta_r|} \end{bmatrix} = \begin{bmatrix} -0,041 \\ 4,8333e-05 \\ 1,1660e-04 \\ 1,8563e-04 \\ 1,3433e-04 \end{bmatrix} \quad (4.2)$$

$$C_{FX} = -0,041(\alpha) + 4,8333e-05(\beta) + 1,1660e-04(\alpha)\delta_e + 1,8563e-04(\alpha)|\delta_a| + 1,3433e-04(\alpha)|\delta_r| \quad (4.3)$$

4.3.2 Persamaan C_{FY}

Persamaan C_{FY} didasarkan pada (2.16) dan dibuat regresi linier seperti persamaan di bawah. Nilai C_{FY} dimasukan sesuai dengan hasil estimasi Tabel 4.2. nilai P_{FY} dimasukan sesuai dengan Matriks 2 \mathbf{P}_{FY} .

$$C_{FY} = P_{FY} \begin{bmatrix} C_{FY,\alpha} \\ C_{FY,\beta} \\ C_{FZ\delta_e} \end{bmatrix} \quad (4.4)$$

Kemudian didapatkan nilai $C_{FY,\alpha}$, $C_{FY,\beta}$, dan $C_{FZ\delta_e}$ seperti pada (4.5). Dan didapatkan persamaan C_{FY} seperti pada (4.6).

$$\begin{bmatrix} C_{FY,\alpha} \\ C_{FY,\beta} \\ C_{FZ\delta_e} \end{bmatrix} = \begin{bmatrix} -0,0394 \\ -1,1627e-04 \\ 7,8767e-04 \end{bmatrix} \quad (4.5)$$

$$C_{FY} = -0,0394(\alpha) - 1,1627e-04(\beta) + 7,8767e-04(\alpha)\delta_e \quad (4.6)$$

4.3.3 Persamaan C_{FZ}

Persamaan C_{FZ} didasarkan pada (2.17) dan dibuat regresi linier seperti persamaan di bawah. Nilai C_{FZ} dimasukan sesuai dengan hasil estimasi Tabel 4.2. nilai P_{FZ} dimasukan sesuai dengan Matriks 3 \mathbf{P}_{FZ} .

$$C_{FZ} = P_{FZ} \begin{bmatrix} C_{FZ,\beta} \\ C_{FZ,\delta_a} \\ C_{FZ,\delta_r} \end{bmatrix} \quad (4.7)$$

Kemudian didapatkan nilai $C_{FZ,\beta}$, C_{FZ,δ_a} , dan C_{FZ,δ_r} seperti pada (4.8). Dan didapatkan persamaan C_{FZ} seperti pada (4.9).

$$\begin{bmatrix} C_{FZ,\beta} \\ C_{FZ,\delta_a} \\ C_{FZ,\delta_r} \end{bmatrix} = \begin{bmatrix} -0,0938 \\ 3,55e-04 \\ -2,2395e-04 \end{bmatrix} \quad (4.8)$$

$$C_{FZ} = -0,0938(\beta) + 3,55e-04(\alpha)\delta_a - 2,2395e-04(\alpha)\delta_r \quad (4.9)$$

4.3.4 Persamaan C_{MX}

Persamaan C_{MX} didasarkan pada (2.18) dan dibuat regresi linier seperti persamaan di bawah. Nilai C_{MX} dimasukan sesuai dengan hasil estimasi Tabel 4.2. nilai P_{MX} dimasukan sesuai dengan Matriks 4 \mathbf{P}_{MX} .

$$C_{MX} = P_{MX} \begin{bmatrix} C_{MX,\beta} \\ C_{MX,\delta_a} \\ C_{MX,\delta_r} \end{bmatrix} \quad (4.10)$$

Kemudian didapatkan nilai $C_{MX,\beta}$, C_{MX,δ_a} , dan C_{MX,δ_r} seperti pada (4.11). Dan didapatkan persamaan C_{MX} seperti pada (4.12).

$$\begin{bmatrix} C_{MX,\beta} \\ C_{MX,\delta_a} \\ C_{MX,\delta_r} \end{bmatrix} = \begin{bmatrix} -2,55e-04 \\ -8,9333e-06 \\ 2,7627e-06 \end{bmatrix} \quad (4.11)$$

$$C_{MX} = -2,55e-04(\beta) - 8,9333e-06(\alpha)\delta_a + 2,7627e-06(\alpha)\delta_r \quad (4.12)$$

4.3.5 Persamaan C_{MY}

Persamaan C_{MY} didasarkan pada (2.19) dan dibuat regresi linier seperti persamaan di bawah. Nilai C_{MY} dimasukan sesuai dengan hasil estimasi Tabel 4.2. nilai P_{MY} dimasukan sesuai dengan Matriks 5 \mathbf{P}_{MY} .

$$C_{MY} = P_{MY} \begin{bmatrix} C_{MY,\alpha} \\ C_{MY,\beta} \\ C_{MY,\delta_a} \\ C_{MY,\delta_r} \end{bmatrix} \quad (4.13)$$

Kemudian didapatkan nilai $C_{MY,\alpha}$, $C_{MY,\beta}$, C_{MY,δ_a} , dan C_{MY,δ_r} seperti pada (4.14). Dan didapatkan persamaan C_{MY} seperti pada (4.15).

$$\begin{bmatrix} C_{MY,\alpha} \\ C_{MY,\beta} \\ C_{MY,\delta_a} \\ C_{MY,\delta_r} \end{bmatrix} = \begin{bmatrix} -0,0055 \\ -9,1667e-05 \\ -6,2227e-05 \\ -2,056e-05 \end{bmatrix} \quad (4.14)$$

$$C_{MX} = -0,0055(\alpha) - 9,1667e-05(\beta) - 6,2227e-05(\alpha)\delta_a - 2,056e-05(\alpha)\delta_r \quad (4.15)$$

4.3.6 Persamaan C_{MZ}

Persamaan C_{MZ} didasarkan pada (2.20) dan dibuat regresi linier seperti persamaan di bawah. Nilai C_{MZ} dimasukan sesuai dengan hasil estimasi Tabel 4.2. nilai P_{MZ} dimasukan sesuai dengan Matriks 6 \mathbf{P}_{MZ} .

$$C_{MZ} = P_{MZ} \begin{bmatrix} C_{MZ,\alpha} \\ C_{MZ,\beta} \\ C_{MZ,\delta_e} \\ C_{FZ,|\delta_a|} \end{bmatrix} \quad (4.16)$$

Kemudian didapatkan nilai $C_{MZ,\alpha}$, $C_{MZ,\beta}$, C_{MZ,δ_e} , dan $C_{FZ,|\delta_a|}$ seperti pada (4.17). Dan didapatkan persamaan C_{MZ} seperti pada (4.18).

$$\begin{bmatrix} C_{MZ,\alpha} \\ C_{MZ,\beta} \\ C_{MZ,\delta_e} \\ C_{FZ,|\delta_a|} \end{bmatrix} = \begin{bmatrix} 8,2906e-05 \\ 0,0048 \\ 3,6617e-06 \\ 7,1021e-06 \end{bmatrix} \quad (4.17)$$

$$C_{MX} = 8,2906e-05(\alpha) + 0,0048(\beta) + 3,6617e-06(\alpha)\delta_e + 7,1021e-06(\alpha)|\delta_a| \quad (4.18)$$

4.3.7 Model Matematika Keseluruhan

Setelah didapatkan semua persamaan aerodinamika, maka persamaan tersebut dimasukan ke model matematika roket pada (2.1) sampai (2.9) untuk membentuk model matematika roket. Model matematika keseluruhan dapat dilihat pada persamaan di bawah.

$$a_x = \frac{du}{dt} \\ = \frac{T - mg \sin \theta + PS \begin{pmatrix} -0,041(\alpha) + 4,8333e - 05(\beta) + \dots \\ 1,1660e - 04(\alpha)\delta_e + \dots \\ 1,8563e - 04(\alpha)|\delta_a| + \dots \\ 1,3433e - 04(\alpha)|\delta_r| \end{pmatrix}}{m} \\ + rv - qw \quad) \quad (4.19)$$

$$a_y = \frac{dv}{dt} \\ = \frac{mg \sin \phi \cos \theta + PS \begin{pmatrix} -0,0394(\alpha) - 1,1627e - 04(\beta) + \dots \\ 7,8767e - 04(\alpha)\delta_e \end{pmatrix}}{m} \\ + nw - ru \quad) \quad (4.20)$$

$$a_z = \frac{dw}{dt} \\ = \frac{mg \cos \phi \cos \theta + PS \begin{pmatrix} -0,0938(\beta) + 3,55e - 04(\alpha)\delta_a - \dots \\ 2,2395e - 04(\alpha)\delta_r \end{pmatrix}}{m} \\ + qu - nv \quad) \quad (4.21)$$

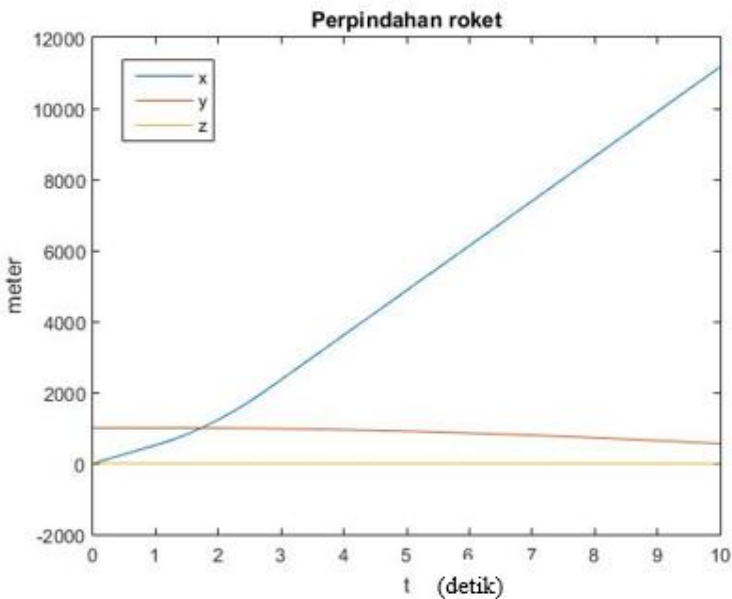
$$\frac{dp}{dt} = \frac{PSd \begin{pmatrix} -2,55e - 04(\beta) - 8,9333e - 06(\alpha)\delta_a + \dots \\ 2,7627e - 06(\alpha)\delta_r \end{pmatrix}}{\frac{1}{8}md^2} \quad (4.22)$$

$$\frac{dq}{dt} = \frac{PSd \begin{pmatrix} -0,0055(\alpha) - 9,1667e - 05(\beta) - \dots \\ 6,2227e - 05(\alpha)\delta_a - 2,056e - 05(\alpha)\delta_r \end{pmatrix} + \dots}{\frac{1}{12}ml^2 + \frac{1}{16}md^2} \\ \frac{1}{12}ml^2 - \frac{1}{16}md^2 \quad)nr \quad (4.23)$$

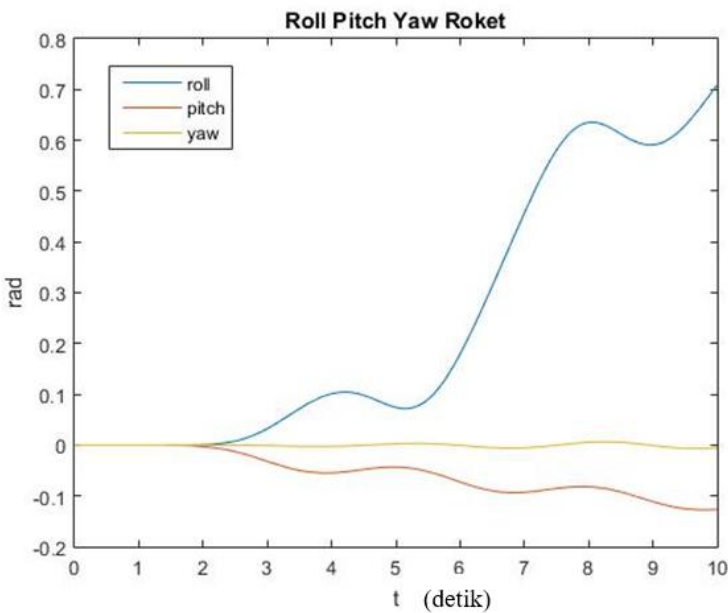
$$\begin{aligned}
 & PSd \left(\frac{8,2906e - 05(\alpha) + 0,0048(\beta)}{3,6617e - 06(\alpha)\delta_e + 7,1021e - 06(\alpha)|\delta_a|} \right) + \dots \\
 \frac{dr}{dt} = & \frac{\left(\frac{1}{12}ml^2 - \frac{1}{16}md^2 \right) nq}{\frac{1}{12}ml^2 + \frac{1}{16}md^2} \quad (4.24) \\
 &)
 \end{aligned}$$

4.4 Validasi Kualitatif

Validasi kualitatif dilakukan dengan memasukan persamaan C_{FX} , C_{FY} , C_{FZ} , C_{MX} , C_{MY} , dan C_{MZ} terhadap α , β , δ_a , δ_e , dan δ_r ke model dummy roket. Model diluncurkan pada ketinggian 1 km. *Boost* sebesar 6500 N diberikan pada roket saat t = 2 detik. Roket dijalankan dengan konfigurasi defleksi sirip selalu nol. Hasil validasi model dapat dilihat pada gambar di bawah.

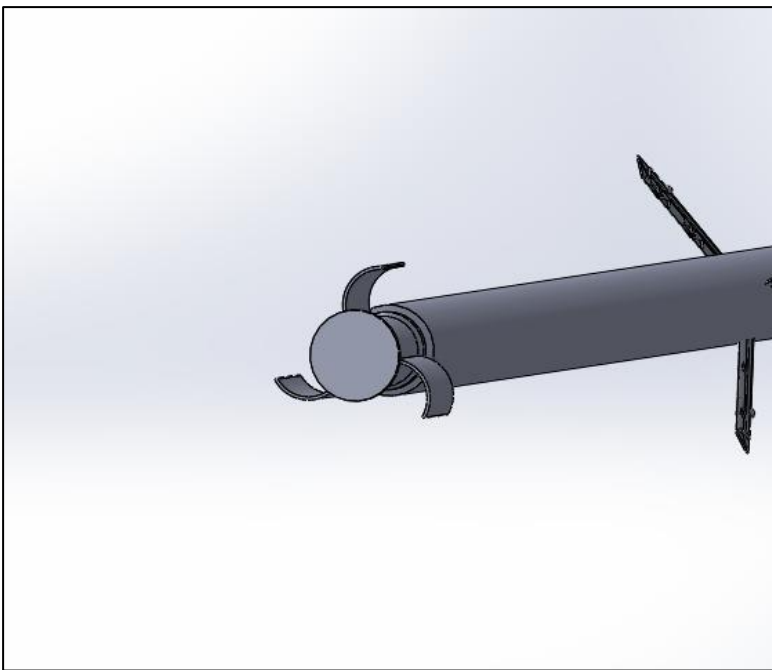


Gambar 4.12 Plot x, y, dan z terhadap waktu



Gambar 4.13 Plot roll, pitch, dan yaw terhadap waktu

Estimasi parameter yang dihasilkan menunjukkan bahwa model roket melakukan *roll* hingga roket mengenai tanah. Hal ini disebabkan bentuk sirip ekor roket yang berbentuk seperti pada Gambar 4.14. Nilai pitch terus turun seiring dengan model roket *dummy* yang jatuh ke tanah akibat gaya gravitasi. Nilai *Yaw steady* di nol menandakan model roket tidak melakukan gerakan yaw.



Gambar 4.14 Sirip ekor model roket

BAB 5

KESIMPULAN DAN SARAN

5.1 Kesimpulan

Hasil model matematika yang didapatkan dengan penambahan hasil estimasi parameter aerodinamika pada model roket Hydra 70 APKWS dengan variasi pada *angle of attack*, *angle of sideslip*, dan *deflection angle* memberikan karakteristik gerak roket yang sesuai yang divalidasi dengan melalui tahap validasi sebagai berikut:

1. Validasi numerik memberikan kesimpulan bahwa data hasil estimasi parameter aerodinamika dapat digunakan karena ketiga metode validasi menyatakan demikian.
 - a. *Grid Independence Test* memberikan hasil bahwa konfigurasi *meshing/grid generating* menggunakan nilai luas sel optimal (6 mm^2).
 - b. *Residual Convergence Criteria* menggunakan kriteria residi sebesar 10^{-3} .
 - c. Pengujian konsistensi nilai didapatkan hasil iterasi CFD yang konsisten. Hal ini menunjukan bahwa nilai yang didapatkan sudah konvergen.
2. Validasi kualitatif menghasilkan kesimpulan bahwa hasil estimasi parameter yang didapatkan realistik dengan model roket Hydra 70 APKWS tanpa gangguan (kondisi ideal) dan tanpa pengaturan dan pemanduan dengan karakteristik roket selalu melakukan *roll* dansudut *pitch* yang tidak menukik tajam.

5.2 Saran

Beberapa saran yang dapat diberikan setelah melakukan penelitian dan diharapkan berguna untuk penelitian selanjutnya adalah sebagai berikut :

1. Pada penelitian ini membatasi masalah pada kecepatan saat roket meluncur dan mengenai target dianggap sama ($1,5 \text{ mach}$) dan menghasilkan koefisien aerodinamika statis. Untuk mendapatkan koefisien aerodinamika dinamis perlu dilakukan estimasi pada variasi kecepatan roket.

2. Melakukan percobaan hasil data estimasi koefisien aerodinamika pada model roket Hydra 70 APKWS dengan sistem pengaturan dan pemanduan defleksi sirip.

DAFTAR PUSTAKA

- [1] Kundu, Pijush and Cohen, Ira, Fluid Mechanics, 3rd edition, 2004.
- [2] Bei-gang Mi, Hao Zhan, and Bai-bing Chen, New Systematic CFD Methods to Calculate Static and Single Dynamic Stability Derivative of Aircraft, Hindawi Matemathical Problem Engineering, 2017.
- [3] David A. Frostbutter, Brian E. McGrath, and Robert P. Rogér, Application of Computational Fluid Dynamics, JOHNS HOPKINS APL TECHNICAL DIGEST, 2001.
- [4] Shoesmith, Benjamin and Birch, Trevor and Mifsud, Michael and Meunier, Mikael and Shaw, Scott, CFD Analysis of a Supersonic Projectile with Deflectable Nose Control, Researchgate, 2006.
- [5] Sahu, Jubaraj; Silton, Sidra; Heavey, Karen R, High-Fidelity CFD Modeling of Maneuvering Projectile Aerodynamics, U.S. Army Research Laboratory, 2003.
- [6] Zulkifli, H; M. Nur Qomarudin; Rusdhianto EAK; Abdullah Alkaff; Mohammad Sahal, Missile Dynamic Model, Laboratorium Teknik Sistem dan Sibernetika. ITS, 2018.
- [7] A. Ghuri, "Aliran Fluida Internal dan Eksternal," Universitas Udayana. Jurusan Teknik Mesin, Bali, 2015.
- [8] W. Nugroho, SIMULASI NUMERIK KARAKTERISTIK ALIRAN 3 DIMENSI DI SEKITAR SINGLE-ELEMENT AIRFOIL UNTUK SPOILER DEPAN MOBIL FORMULA SAE DENGAN VARIASI REYNOLDS NUMBER, Surabaya: Teknik Mesin ITS, 2015.

- [9] E. Bruce Jackson and Christopher I.Cruz, "Preliminary subsonic aerodynamic model for simulation of HL-20," Langley Research Center, Hampton, Virginia, 1992.
- [10] P. H. Zipfel, "Modeling and Simulation of Aerospace Vehicle Dynamics," AIAA Education Series, Virginia, 2007.
- [11] H. R. Hopkin, A Scheme of Notation and Nomenclature for Aircraft Dynamics and Associated Aerodynamics, Farnborough: Royal Aircraft Establishment, 1966.
- [12] G. M. Ali, "ICEM 102 Understanding the Tutorial," 2013.
- [13] U. Azmi, "STUDI EKSPERIMENT DAN NUMERIK PENGARUH PENAMBAHAN VORTEX GENERATOR PADA AIRFOIL NASA LS-0417," Teknik Mesin. ITS, Surabaya, 2017.
- [14] A. W. E. S., "STUDI EKSPERIMENT DAN NUMERIK PENGARUH SLAT CLEARANCE SERTA SLAT ANGLE UNTUK MENGELEMINASI STALL PADA AIRFOIL," Teknik Mesin ITS, Surabaya, 2016.
- [15] I. Calimanescu, " A Spinning Tail Missile CFD Aerodynamic Study," 2010.
- [16] A, Da Ronch; D, Vallespin; M, Ghoreyshi; and K, J, Badcock, "Computation of Dynamic Derivatives Using CFD," Departement of Engineering. University of Liverpool, Liverpool.
- [17] Bonner, E. Clever, W. and Dunn, K. , "Aerodynamic Preliminary Analysis System II," Part I Theory NASA CR-182076, 1991.

- [18] E. & A. H. Oktay, "CFD Predictions of Dynamic Derivatives for Missiles," 10.25146.2002-276, 2002.
- [19] M. Park, "Determination of Static and Dynamic Stability and Control Derivatives with Computational Fluid Dynamics and Automatic Differentiation," 2000.
- [20] G. a. D. P. Sova, "Aerodynamic Preliminary Analysis System II Part II--User's Manual NASA CR-182077," 1991.
- [21] S. Zaharia, "CFD SIMULATION AND FEA ANALYSIS OF A BALLISTIC MISSILE. JOURNAL OF INDUSTRIAL DESIGN AND ENGINEERING GRAPHICS," 2016.
- [22] Al-Kayiem, Hussain; Hussein, Ahmed; Jalil, Jalal; Hussain, Salam, "Numerical computation of 3-dimensional supersonic flow field over seamless missiles," *Indian Journal of Science and Technology*, Vols. 7:1563-157, 2014.
- [23] Maple, C. G., and Synge, J. L., Aerodynamic Symmetry of Projectiles, vol. 6, Quarterly Applied Mathematics, 1949, pp. 315-366.

Halaman ini sengaja dikosongkan

LAMPIRAN

Tabel 0.1 Hasil CFD Hydra 70 APKWS

Var	δ_1	δ_2	δ_3	δ_4	Dho	α	β	F_X	F_Y	F_Z	M_X	M_Y	M_Z
2	10	10	10	10	$\delta_a = 10$	0	10	719.39 133	73.471 6	1273.7 36	0.8642 4	20.007 7	827.39 1
3						0	-10	719.79 317	14.698 34	1285.3 5	3.9141 7	19.491 82	841.33 33
4						10	0	713.58 095	-1294.4	27.618 5	6.7842 3	835.45 8	8.1599 5
5						10	10	944.51 59	1230.3 2	1286.6 75	4.4212 8	826.02 2	817.70 9
6						10	-10	927.29 574	1143.1 7	1315.1 9	0.1530 1	799.47 4	832.92
7						20	0	1381.5 238	152.57 06	2710.5 2	3.1617 97	25.385 17	1612.1 8
8						20	10	1632.3 843	2463.0 7	1719.0 95	-126.8	1496.8 2	1085.2 3
9						20	-10	1599.7 686	2383.4 5	-	102.41 34	1592.9 1	1104.9 58
10						-10	0	740.22 318	1308.8 35	283.73 85	21.068 45	101.16 6	888.61 63
11						0	0	559.02 388	0.2654 1	5.1413 84	2.9621 87	2.1420 52	2.8165 85
12						10	0	743.85 159	1319.8 5	-269.63	21.541 03	101.57 05	893.63 4
13						20	0	1409.6 251	-	328.17 6	75.290 22	205.03 16	1636.2 3

Var	δ_1	δ_2	δ_3	δ_4	Dho	α	β	F_X	F_Y	F_Z	M_X	M_Y	M_Z
14	5	5	5	5	$\delta_a = 5$	-10	0	730.73 441	1279.2 57	160.94 93	8.1345 34	66.617 6	847.89 69
15						0	0	526.12 401	10.867 2	8.6667 1	3.4947 5	2.8137 02	2.6495 4
16						10	0	710.82 652	1300.6 6	160.18 5	9.1044 33	59.651 44	847.67 7
17						20	0	1399.9 096	2609.5 2	19.448 6	39.278 04	117.41 62	1605.3 4
18	-5	-5	-5	-5	$\delta_a = -5$	-10	0	722.05 048	1247.6 4	167.56 4	18.058 2	50.559 48	826.29 87
19						0	0	524.38 736	8.4480 2	-19.539	8.7891 1	26.313 8	0.1582 3
20						10	0	881.17 116	-1063	414.65	44.778 1	310.63 8	616.28 9
21						20	0	1395.3 795	2593.7 7	456.81 62	61.564 9	137.48 9	1588.4 9
22	-10	-10	-10	-10	$\delta_a = -10$	-10	0	739.80 348	1276.2 49	247.98 8	35.263 1	127.27 31	849.02 65
23						0	0	-529.9	-15.879	-17.974	-13.846	-91.433	-10.278
24						10	0	1415.2 191	2611.2 4	604.61 63	71.645 4	147.62 7	1574.4 5
25						20	0	731.32 629	1302.2 3	251.66 54	30.307 9	-104.73	844.70 5

Var	δ_1	δ_2	δ_3	δ_4	Dho	α	β	F_X	F_Y	F_Z	M_X	M_Y	M_Z
26	-10	10	10	-10	$\delta_e = 10$	-10	0	750.97 545	1420.1 28	51.700 6	-8.3831	15.686 92	996.57 65
27						0	0	537.73 618	121.36 78	0.4955 5	5.2975 4	13.465 9	129.63 84
28						10	0	713.93 167	1193.4 9	57.384 6	0.2840 5	26.895 13	704.47 1
29						20	0	1373.7 593	2522.4 7	276.52 93	17.173 1	25.823 9	1447.5 6
30	-5	5	5	-5	$\delta_e = 5$	-10	0	738.28 635	1350.4 41	1.6524 1	2.6853 5	-17.937	910.16 25
31						0	0	525.02 442	53.525 25	18.654 73	6.1380 8	17.733 1	64.664 81
32						10	0	708.33 455	1235.0 4	60.530 5	2.1527 7	25.645 52	776.86 8
33						20	0	1371.5 73	2533.1 1	251.00 14	11.044 7	10.813 1	1515.1 5
34						-10	0	722.91 527	1186.2 67	27.771 5	7.7437 2	7.3288 31	770.68 76
35	5	-5	-5	5	$\delta_e = -5$	0	0	566.67 092	15.688 1	37.348 2	7.6973 8	2.2596 7	75.276 5
36						10	0	757.16 524	1312.8 1	4.9655 2	6.8986 8	14.632 9	916.89 1
37						20	0	1387.3 657	2636.1 8	6.7438 94	9.7014 85	44.786 04	1681.5 5

Var	δ_1	δ_2	δ_3	δ_4	Dho	α	β	F_X	F_Y	F_Z	M_X	M_Y	M_Z
38	10	-10	-10	10	$\delta_\theta = -10$	-10	0	725.70 319	1165.7 46	-28.307	6.9526 7	0.5444 9	725.93 59
39						0	0	584.67 294	50.417 7	35.198 5	7.2170 3	12.841 6	153.88 7
40						10	0	733.64 361	1427.2 9	0.0667 2	4.3226 6	3.9865 9	985.04 9
41						20	0	1439.7 522	2861.9 5	50.091 26	2.2054 03	18.810 06	1770.4 6
42	10	10	-10	-10	$\delta_\gamma = 10$	-10	0	768.98 719	1283.3 2	132.39 4	26.047 3	125.02 01	847.02 5
43						0	0	590.62 726	8.9561 98	164.66 2	7.2373 6	113.27 7	9.5550 78
44						10	0	726.71 398	1251.7 8	110.90 4	15.528 14	131.42 82	882.95 4
45						20	0	1361.3 23	2642.0 9	240.69 3	59.246 65	190.47 45	1650.6 3
46	5	5	-5	-5	$\delta_\gamma = 5$	-10	0	726.44 636	1275.6 13	-49.18	15.135 3	60.905 67	845.78 32
47						0	0	558.92 549	31.465 94	12.204 5	6.1050 3	64.931 49	24.590 06
48						10	0	740.83 609	1264.3 7	65.134 3	4.9023 9	68.737 98	862.29 9
49						20	0	1338.5 896	2492.5 2	86.863 4	19.302 84	83.870 54	1650.9 1

Var	δ_1	δ_2	δ_3	δ_4	Dho	α	β	F_X	F_Y	F_Z	M_X	M_Y	M_Z
50	-5	-5	5	5	$\delta_r = -5$	-10	0	714.32 516	1250.1 82	79.522 16	3.9976 32	57.658 3	855.54 68
51						0	0	547.96 613	21.577 9	60.870 34	7.4559 2	-	-
52						10	0	755.44 966	1279.4 7	57.120 74	12.264 9	44.748 7	18.791 6
53						20	0	1387.3 32	2543.4 9	37.473 34	7.3863 5	15.102 7	1622.5 5
54	-10	-10	10	10	$\delta_r = -10$	-10	0	743.90 928	1249.1 37	119.79 11	14.706 55	119.02 5	868.85 01
55						0	0	610.10 431	-	2.4851 59	7.6864 5	141.53 1	9.8044 1
56						10	0	745.96 896	1268.2 8	128.20 86	24.901 5	123.81 3	852.24 6
57						20	0	1377.9 664	2531.6 5	118.97 01	36.017 9	103.15 1	1624.9 7

Tabel 0.2 Hasil perhitungan koefisien aerodinamika

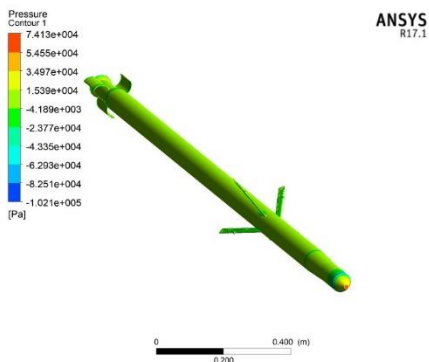
Var	δ_1	δ_2	δ_3	δ_4	Dho	α	β	C_{FX}	C_{FY}	C_{FZ}	C_{MX}	C_{MY}	C_{MZ}
1	0	0	0	0	0	0	0	0.0034 294	1.8E- 05	-1.1E- 05	-2.86E- 05	1.6E- 05	-8.99E- 07
2						0	10	0.0052 002	0.0005 3	0.0092 07	-3.44E- 06	-8E-05	0.0032 93
3						0	-10	0.0052 031	0.0001 1	0.0092 9	-1.56E- 05	7.8E- 05	0.0033 49
4						10	0	0.0051 582	0.0093 6	0.0002	-2.7E- 05	0.0033	-3.25E- 05
5						10	10	0.0068 275	0.0088 9	0.0093 01	-1.76E- 05	0.0033	-0.0032 55
6						10	-10	0.0067 03	0.0082 6	0.0095 1	6.09E- 07	0.0032	0.0033 15
7						20	0	0.0099 864	0.0011	0.0195 9	1.26E- 05	0.0001	0.0064 17
8						20	10	0.0117 998	0.0178	0.0124 27	0.0005 05	-0.006	0.0043 2
9						20	-10	0.0115 64	0.0172 3	0.0109 2	0.0004 08	0.0063	0.0043 98
10						-10	0	0.0053 508	0.0094 6	0.0020 51	8.39E- 05	0.0004	0.0035 37
11	10	10	10	10	$\delta_a = 10$	0	0	0.0040 409	-1.9E- 06	3.72E- 05	1.18E- 05	8.5E- 06	1.12E- 05
12						10	0	0.0053 77	0.0095 4	0.0019 5	8.57E- 05	0.0004	0.0035 57
13						20	0	0.0101 896	0.0191 7	0.0023 7	0.0003	0.0008 2	0.0065 13

Var	δ_1	δ_2	δ_3	δ_4	Dho	α	β	C_{FX}	C_{FY}	C_{FZ}	C_{MX}	C_{MY}	C_{MZ}
14	5	5	5	5	$\delta_a = 5$	-10	0	0.0052 822	0.0092 5	0.0011 63	3.24E- 05	0.0003	0.0033 75
15						0	0	0.0038 031	-7.9E- 05	-6.3E- 05	-1.39E- 05	1.1E- 05	-1.05E- 05
16						10	0	0.0051 383	0.0094	0.0011 6	3.62E- 05	0.0002 4	0.0033 74
17						20	0	0.0101 193	0.0188 6	0.0001 4	0.0001 56	0.0004 7	0.0063 9
18	-5	-5	-5	-5	$\delta_a = -5$	-10	0	0.0052 194	0.0090 2	0.0012 1	-7.19E- 05	0.0002	0.0032 89
19						0	0	0.0037 906	-6.1E- 05	0.0001 4	-3.5E- 05	0.0001	-6.3E- 07
20						10	0	0.0063 696	0.0076 8	0.0029 97	0.0001 78	0.0012	0.0024 53
21						20	0	0.0100 866	0.0187 5	0.0033 02	0.0002 45	0.0005	0.0063 23
22	-10	-10	-10	-10	$\delta_a = -10$	-10	0	0.0053 477	0.0092 3	0.0017 9	0.0001 4	0.0005 1	0.0033 8
23						0	0	0.0038 304	0.1147 8	0.1299 3	0.0551 14	-	0.0409 11
24						10	0	0.0102 3	0.0188 8	0.0043 71	0.0002 85	0.0006	0.0062 67
25						20	0	0.0052 864	0.0094 1	0.0018 19	0.0001 21	0.0004	0.0033 62

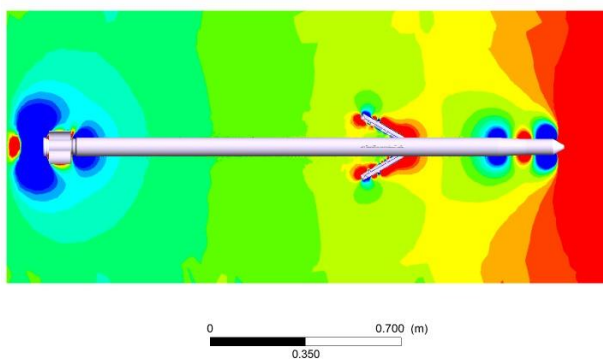
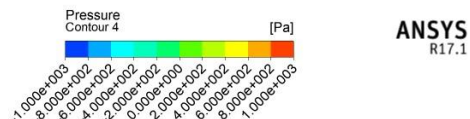
Var	δ_1	δ_2	δ_3	δ_4	Dho	α	β	C_{FX}	C_{FY}	C_{FZ}	C_{MX}	C_{MY}	C_{MZ}
26	-10	10	10	-10	$\delta_e = 10$	-10	0	0.0054 285	0.0102 7	0.0003 7	-3.34E- 05	6.2E- 05	0.0039 67
27						0	0	0.0038 871	0.0008 8	-3.6E- 06	-2.11E- 05	-5E-05	0.0005 16
28						10	0	0.0051 607	0.0086 3	0.0004 1	-1.13E- 06	0.0001 1	0.0028 04
29						20	0	0.0099 303	0.0182 3	0.0019 99	-6.84E- 05	0.0001 62	0.0057 62
30	-5	5	5	-5	$\delta_e = 5$	-10	0	0.0053 368	0.0097 6	-1.2E- 05	-1.07E- 05	-7E-05	0.0036 23
31						0	0	0.0037 952	0.0003 9	0.0001 35	-2.44E- 05	-7E-05	0.0002 57
32						10	0	0.0051 202	0.0089 3	0.0004 4	-8.57E- 06	0.0001	0.0030 92
33						20	0	0.0099 145	0.0183 1	0.0018 14	-4.4E- 05	-4E-05	0.0060 31
34	5	-5	-5	5	$\delta_e = -5$	-10	0	0.0052 256	0.0085 8	0.0002	-3.08E- 05	2.9E- 05	0.0030 68
35						0	0	0.0040 962	0.0001 1	0.0002 7	-3.06E- 05	-9E-06	0.0003
36						10	0	0.0054 732	0.0094 9	-3.6E- 05	-2.75E- 05	-6E-05	0.0036 5
37						20	0	0.0100 287	0.0190 6	4.87E- 05	3.86E- 05	0.0001 8	0.0066 93

Var	δ_1	δ_2	δ_3	δ_4	Dho	α	β	C_{FX}	C_{FY}	C_{FZ}	C_{MX}	C_{MY}	C_{MZ}
38	10	-10	-10	10	$\delta_e = -10$	-10	0	0.0052458	0.00843	-0.0002	-2.77E-05	-2E-06	0.00289
39						0	0	0.0042263	0.00036	0.00025	-2.87E-05	-5E-05	0.000613
40						10	0	0.0053032	0.01032	-4.8E-07	-1.72E-05	-2E-05	0.003921
41						20	0	0.0104073	0.02069	0.000362	8.78E-06	7.5E-05	0.007047
42	10	10	-10	-10	$\delta_r = 10$	-10	0	0.0055587	0.00928	0.00096	0.000104	0.0005	0.003372
43						0	0	0.0042694	6.5E-05	0.00119	-2.88E-05	0.00045	3.8E-05
44						10	0	0.0052531	0.00905	0.0008	6.18E-05	0.00052	0.003515
45						20	0	0.0098404	0.01914	0.00174	0.000236	0.00076	0.00657
46	5	5	-5	-5	$\delta_r = 5$	-10	0	0.0052512	0.00922	0.00036	-6.02E-05	0.00024	0.003367
47						0	0	0.0040402	0.00023	-8.8E-05	-2.43E-05	0.00026	9.79E-05
48						10	0	0.0053552	0.00914	0.00047	1.95E-05	0.00027	0.003432
49						20	0	0.0096761	0.01802	0.00063	7.68E-05	0.00033	0.006571

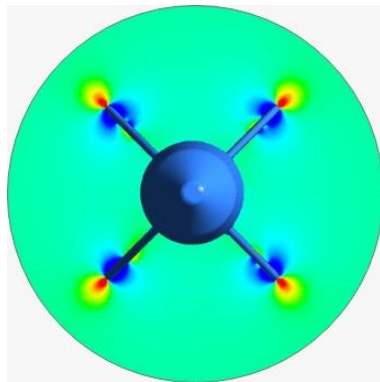
Var	δ_1	δ_2	δ_3	δ_4	Dho	α	β	C_{FX}	C_{FY}	C_{FZ}	C_{MX}	C_{MY}	C_{MZ}
50	-5	-5	5	5	$\delta_r = -5$	-10	0	0.0051 635	0.0090 4	0.0005 75	1.59E- 05	0.0002	0.0034 05
51						0	0	0.0039 61	0.0001 6	0.0004 4	-2.97E- 05	0.0002	-7.48E- 05
52						10	0	0.0054 608	0.0092 5	0.0004 13	-4.88E- 05	0.0002	0.0032 87
53						20	0	0.0100 284	0.0183 9	0.0002 71	-2.94E- 05	-6E-05	0.0064 59
54	-10	-10	10	10	$\delta_r = -10$	-10	0	0.0053 774	0.0090 3	0.0008 66	5.85E- 05	0.0005	0.0034 58
55						0	0	0.0044 102	0.0003 9	1.8E- 05	-3.06E- 05	0.0006	-3.9E- 05
56						10	0	0.0053 923	0.0091 7	0.0009 27	-9.91E- 05	0.0005	0.0033 92
57						20	0	0.0099 607	0.0183	0.0008 6	0.0001 43	0.0004	0.0064 68



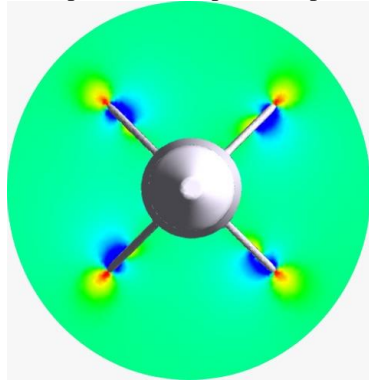
Gambar 0.1 Kontur tekanan pada badan roket



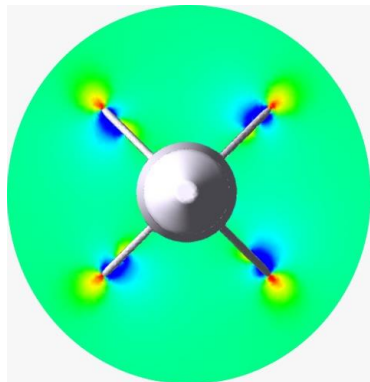
Gambar 0.2 Kontur tekanan pada domain simulasi



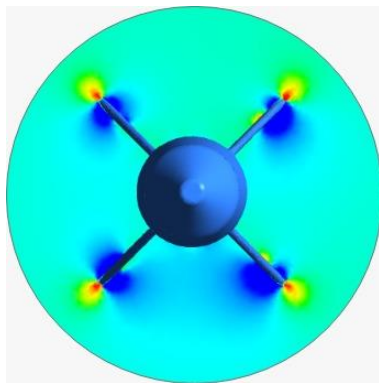
Gambar 0.3 Tampak depan tekanan pada sirip $\delta = 0^\circ$



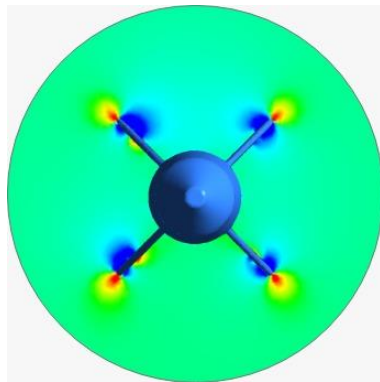
Gambar 0.4 Tampak depan tekanan pada sirip $+\delta_a$



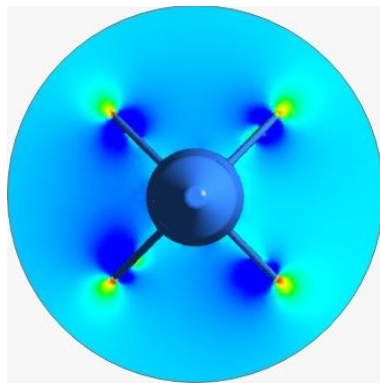
Gambar 0.5 Tampak depan tekanan pada sirip $-\delta_a$



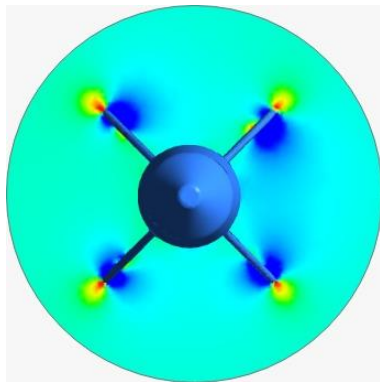
Gambar 0.6 Tampak depan tekanan pada sirip $+\delta_e$



Gambar 0.7 Tampak depan tekanan pada sirip $-\delta_e$



Gambar 0.8 Tampak depan tekanan pada sirip $+\delta_r$



Gambar 0.9 Tampak depan tekanan pada sirip $-\delta_r$

Matriks 1 P_{FX}

0	0	0	0	0
0	10	0	0	0
0	-10	0	0	0
10	0	0	0	0
10	10	0	0	0
10	-10	0	0	0
20	0	0	0	0
20	10	0	0	0
20	-10	0	0	0
-10	0	0	-100	0
0	0	0	0	0
10	0	0	100	0
20	0	0	200	0
-10	0	0	-50	0
0	0	0	0	0
10	0	0	50	0
20	0	0	100	0
-10	0	0	-50	0
0	0	0	0	0
10	0	0	50	0
20	0	0	100	0
-10	0	0	-100	0
0	0	0	0	0

10	0	0	100	0
20	0	0	200	0
-10	0	-100	0	0
0	0	0	0	0
10	0	100	0	0
20	0	200	0	0
-10	0	-50	0	0
0	0	0	0	0
10	0	50	0	0
20	0	100	0	0
-10	0	50	0	0
0	0	0	0	0
10	0	-50	0	0
20	0	-100	0	0
-10	0	-100	0	0
0	0	0	0	0
10	0	100	0	0
20	0	200	0	0
-10	0	0	0	-100
0	0	0	0	0
10	0	0	0	100
20	0	0	0	200
-10	0	0	0	-50
0	0	0	0	0

10	0	0	0	50
20	0	0	0	100
-10	0	0	0	-50
0	0	0	0	0
10	0	0	0	50
20	0	0	0	100
-10	0	0	0	-100
0	0	0	0	0
10	0	0	0	100
20	0	0	0	200

Matriks 2 P_{FY}

0	0	1
10	0	0
-10	0	0
0	0	0
10	0	0
-10	0	0
0	0	0
10	0	0
-10	0	0
0	-100	0
0	0	0
0	100	0
0	200	0
0	-50	0
0	0	0
0	50	0
0	100	0
0	50	0
0	0	0
0	-50	0
0	-100	0
0	-100	0
0	0	0

0	0	0
0	0	0
0	0	0
0	0	0
0	0	0
0	0	0
0	0	0
0	0	0
0	0	0
0	0	0

Matriks 3 P_{FZ}

0	0	0
0	10	0
0	-10	0
10	0	0
10	10	0
10	-10	0
20	0	0
20	10	0
20	-10	0
-10	0	0
0	0	0
10	0	0
20	0	0
-10	0	0
0	0	0
10	0	0
20	0	0
-10	0	0
0	0	0
10	0	0
20	0	0
-10	0	0
0	0	0

10	0	0
20	0	0
-		
-10	0	100
0	0	0
10	0	100
20	0	200
-10	0	-50
0	0	0
10	0	50
20	0	100
-10	0	50
0	0	0
10	0	-50
-		
20	0	100
-		
-10	0	100
0	0	0
10	0	100
20	0	200
-10	0	0
0	0	0
10	0	0
20	0	0
-10	0	0

0	0	0
10	0	0
20	0	0
-10	0	0
0	0	0
10	0	0
20	0	0
-10	0	0
0	0	0
10	0	0
20	0	0

,

Matriks 4 P_{MX}

0	0	0
10	0	0
-10	0	0
0	0	0
10	0	0
-10	0	0
0	0	0
10	0	0
-10	0	0
0	-100	0
0	0	0
0	100	0
0	200	0
0	-50	0
0	0	0
0	50	0
0	100	0
0	50	0
0	0	0
0	-50	0
0	-100	0
0	-100	0
0	0	0

0	100	0
0	200	0
0	0	0
0	0	0
0	0	0
0	0	0
0	0	0
0	0	0
0	0	0
0	0	0
0	0	0
0	0	0
0	0	0
0	0	0
0	0	0
0	0	0
0	0	0
0	0	-100
0	0	0
0	0	100
0	0	200
0	0	-50
0	0	0

0	0	50
0	0	100
0	0	50
0	0	0
0	0	-50
0	0	-100
0	0	-100
0	0	0
0	0	100
0	0	200

Matriks 5 $P_{M\gamma}$

0	0	0	0
0	10	0	0
0	-10	0	0
10	0	0	0
10	10	0	0
10	-10	0	0
20	0	0	0
20	10	0	0
20	-10	0	0
-10	0	-100	0
0	0	0	0
10	0	100	0
20	0	200	0
-10	0	-50	0
0	0	0	0
10	0	50	0
20	0	100	0
-10	0	50	0
0	0	0	0
10	0	-50	0
20	0	-100	0
-10	0	-100	0

0	0	0	0
10	0	100	0
20	0	200	0
-10	0	0	0
0	0	0	0
10	0	0	0
20	0	0	0
-10	0	0	0
0	0	0	0
10	0	0	0
20	0	0	0
-10	0	0	0
0	0	0	0
10	0	0	0
20	0	0	0
-10	0	0	0
0	0	0	0
10	0	0	0
20	0	0	0
-10	0	0	-100
0	0	0	0
10	0	0	100
20	0	0	200
-10	0	0	-50

0	0	0	0
10	0	0	50
20	0	0	100
-10	0	0	50
0	0	0	0
10	0	0	-50
20	0	0	-100
-10	0	0	-100
0	0	0	0
10	0	0	100
20	0	0	200

Matriks 6 P_{MZ}

0	0	0	0
0	10	0	0
0	-10	0	0
10	0	0	0
10	10	0	0
10	-10	0	0
20	0	0	0
20	10	0	0
20	-10	0	0
-10	0	0	-100
0	0	0	0
10	0	0	100
20	0	0	200
-10	0	0	-50
0	0	0	0
10	0	0	50
20	0	0	100
-10	0	0	-50
0	0	0	0
10	0	0	50
20	0	0	100
-10	0	0	-100

0	0	0	0
10	0	0	100
20	0	0	200
-10	0	-100	0
0	0	0	0
10	0	100	0
20	0	200	0
-10	0	-50	0
0	0	0	0
10	0	50	0
20	0	100	0
-10	0	50	0
0	0	0	0
10	0	-50	0
20	0	-100	0
-10	0	-100	0
0	0	0	0
10	0	100	0
20	0	200	0
-10	0	0	0
0	0	0	0
10	0	0	0
20	0	0	0
-10	0	0	0

0	0	0	0
10	0	0	0
20	0	0	0
-10	0	0	0
0	0	0	0
10	0	0	0
20	0	0	0
-10	0	0	0
0	0	0	0
10	0	0	0
20	0	0	0

Halaman ini sengaja dikosongkan

BIOGRAFI PENULIS



Dimas Agung Prabowo lahir di Blitar, Jawa Timur pada tanggal 31 Januari 1998. Penulis merupakan anak terakhir dari tiga bersaudara. Melalui pendidikan TK di TK Al-Hidayah Bendo, dilanjutkan ke jenjang berikutnya di SD Negeri Bendo 2 hingga 2010. Pendidikan menengah pertama ditempuh penulis di SMP Negeri 1 Blitar, dilanjutkan dengan meneruskan pendidikannya di SMA Negeri 1 Blitar hingga 2016. Penulis melanjutkan pendidikan ke jenjang yang lebih tinggi di Jurusan Teknik Elektro, Fakultas Teknologi Elektronika dan Informatika Cerdas, Institut Teknologi Sepuluh Nopember Surabaya pada tahun 2016 hingga 2020.

Selama masa perkuliahan di Teknik Elektro FTEIC-ITS penulis pernah menjadi staff logistik Tim Event Himpunan Mahasiswa Elektro ITS (EVOLTY) pada 2017/2018, OC Tim Kaderisasi Himatekstro pada 2017/2018, OC PKTI-TD pada tahun 2018 serta aktif dalam berbagai pelatihan diantaranya LKMM Pra-TD yang diselenggarakan oleh BEM FTI-ITS pada tahun 2016 serta PKTI TD yang diselenggarakan oleh BEM FTI-ITS pada tahun 2016.

Karena ketertarikan penulis terhadap bidang sistem pengaturan, maka penulis memutuskan untuk masuk menjadi anggota Laboratorium Sistem dan Sibernetika Jurusan Teknik Elektro FTEIC-ITS dan mendalami mengenai pengaturan dan pengendalian khususnya pada roket. Untuk semua informasi dan saran, dapat menghubungi penulis melalui email agungdimas1998@gmail.com.